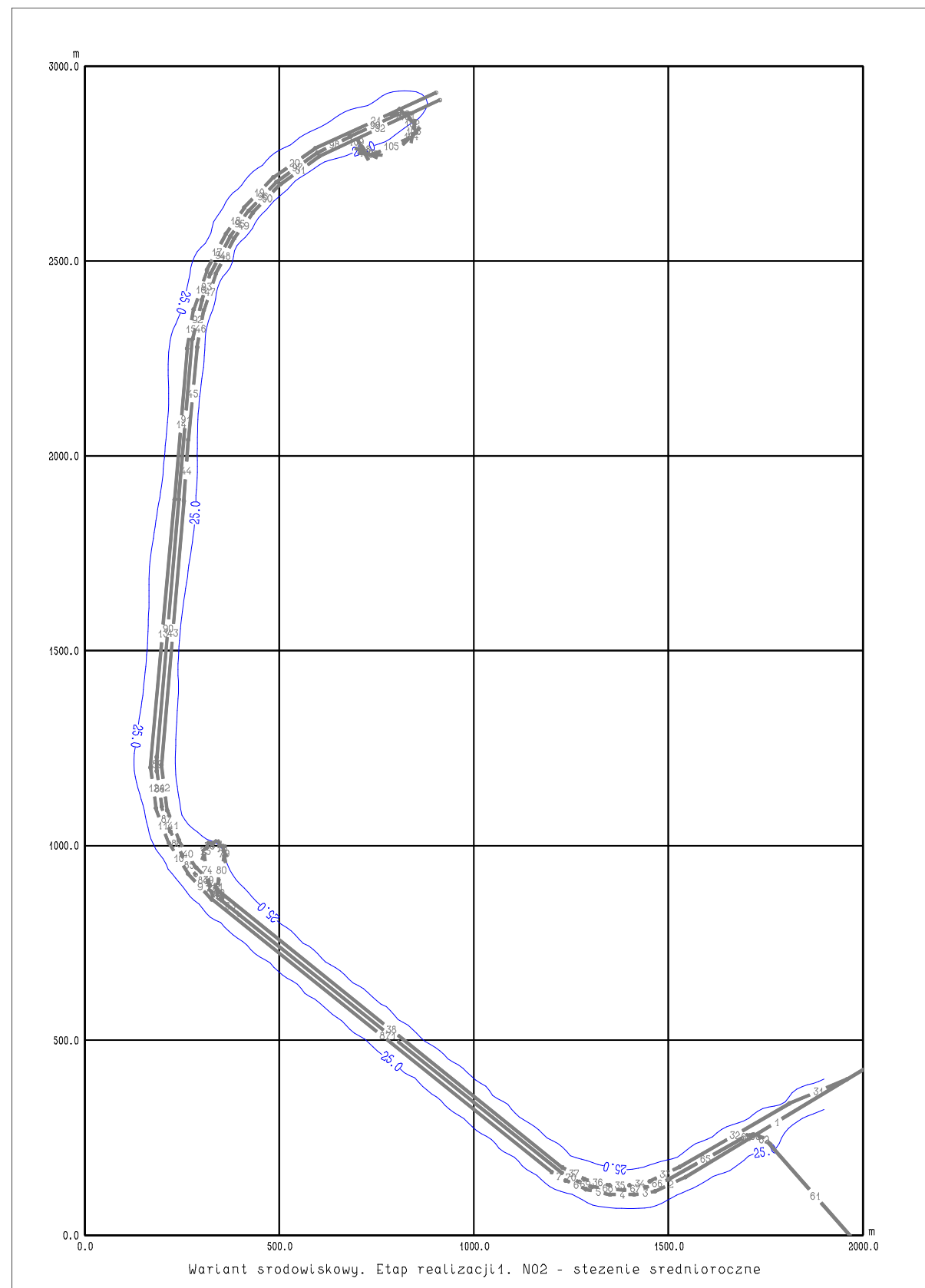


Spis treści:

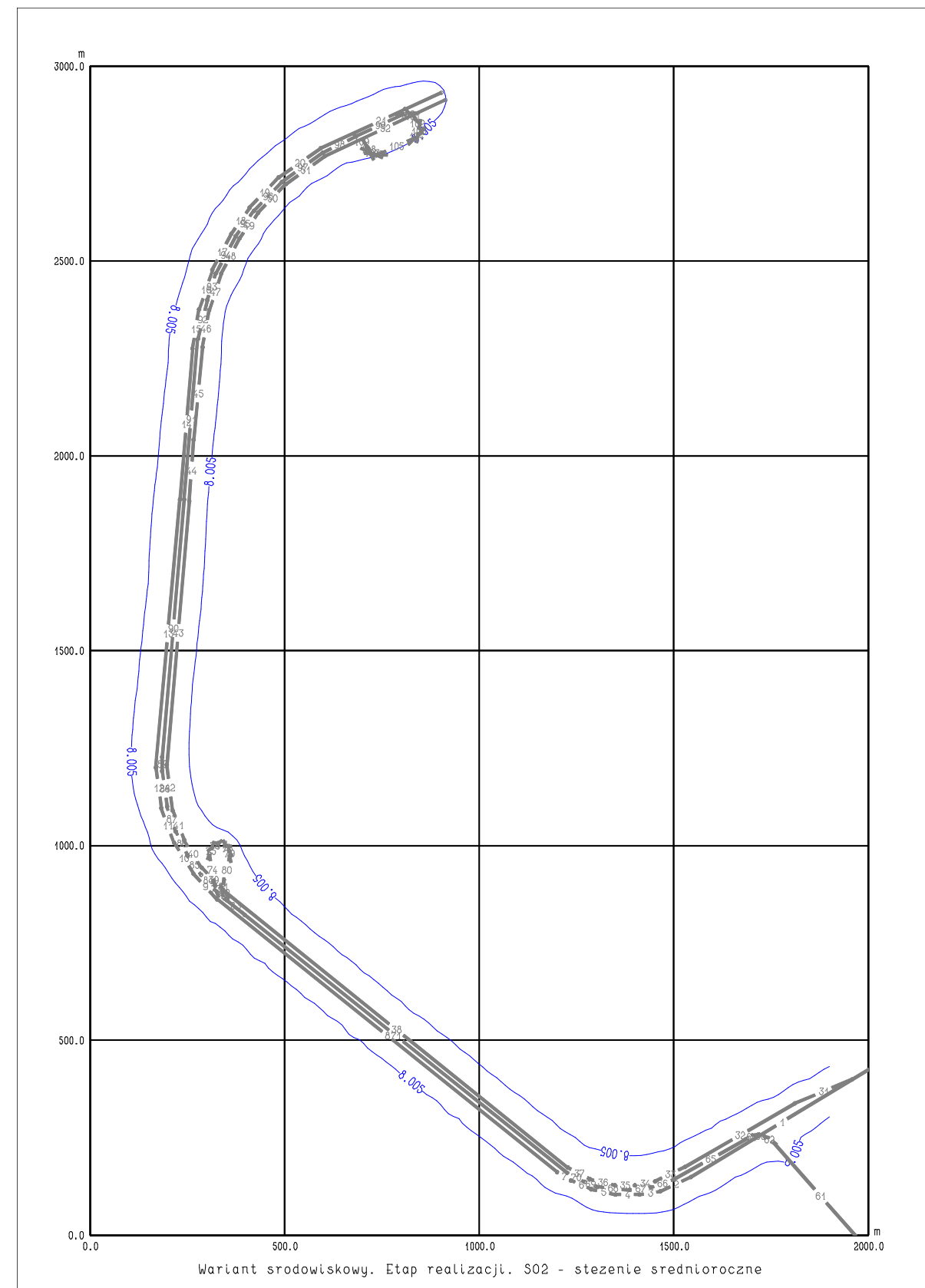
ETAP REALIZACJI	3
WARIANT ŚRODOWISKOWY	5
WARIANT SPOŁECZNY	11
WARIANT INWESTORA	17
ETAP EKSPLOATACJI	23
WARIANT ŚRODOWISKOWY	25
WARIANT SPOŁECZNY	31
WARIANT INWESTORA	37

ETAP REALIZACJI

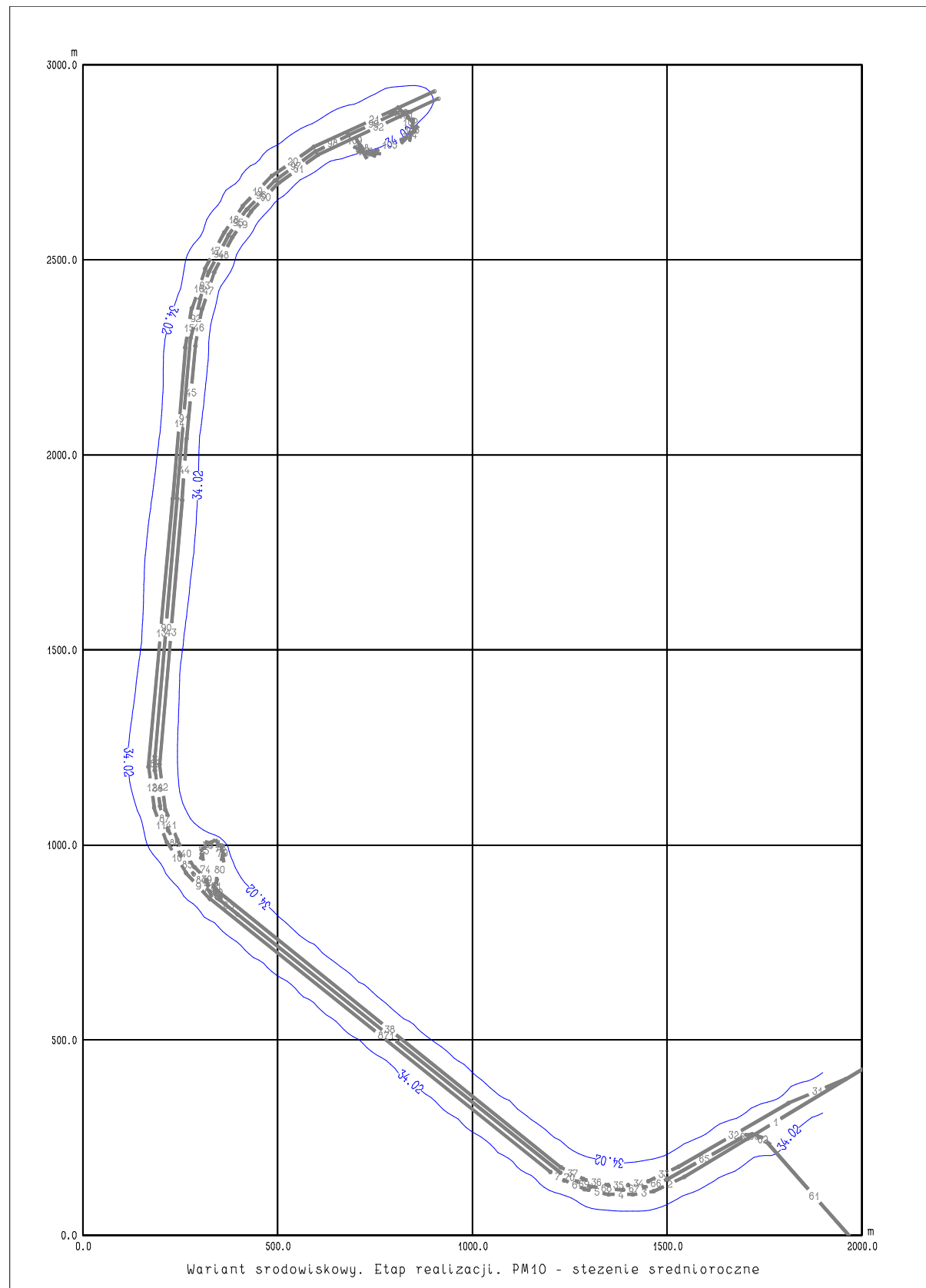
WARIANT ŚRODOWISKOWY



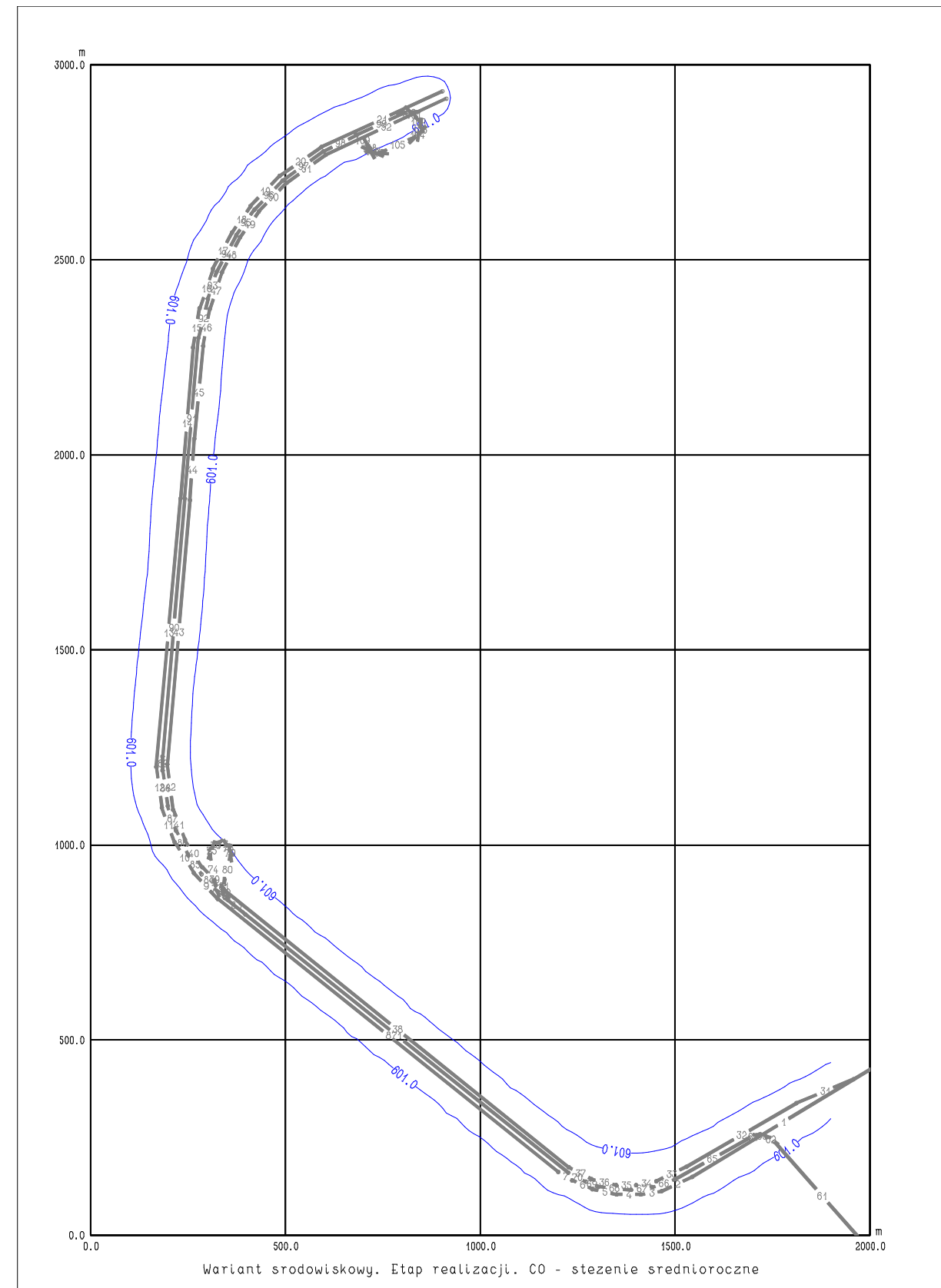
Rys. 1. Dwutlenek azotu NO_2 . Stężenie średnioroczne z tłem. Dopuszczalne średnioroczne stężenie z tłem, ze względu na zdrowie ludzi $D_a = 40 \mu\text{g}/\text{m}^3$. Wartość tła zanieczyszczenia $R_a = 24 \mu\text{g}/\text{m}^3$. Wykreślono izolinie stężenia: $25 \mu\text{g}/\text{m}^3$. Wartość maksymalna stężenia w siatce obliczeniowej $S_{\text{amax}} = 26.391 \mu\text{g}/\text{m}^3$ występuje w punkcie $X = 350 \text{ m}$, $Y = 850 \text{ m}$.



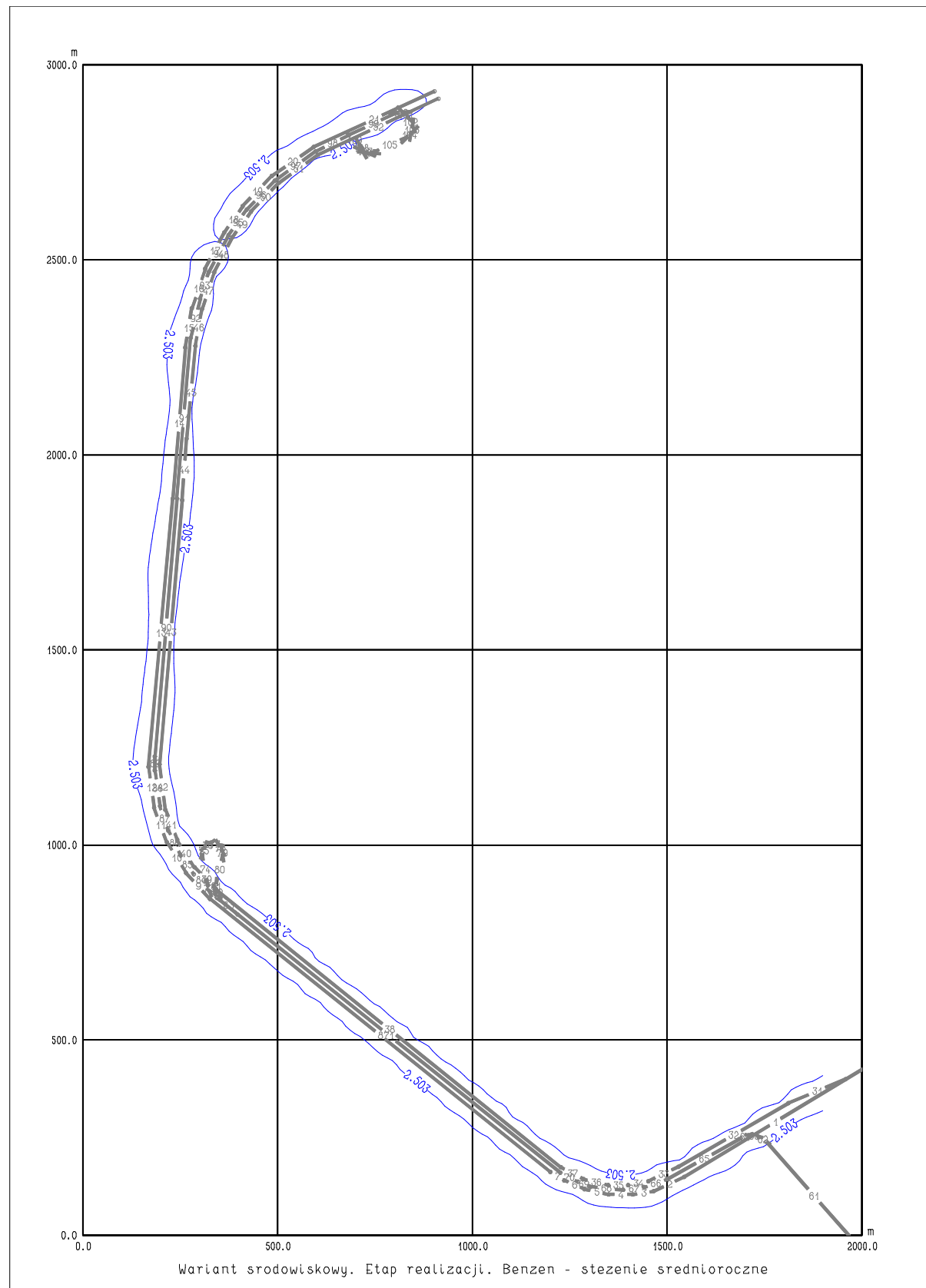
Rys. 2. Dytlenek siarki SO_2 . Stężenie średnioroczne z tłem. Dopuszczalne średnioroczne stężenie z tłem $D_a = 20 \mu\text{g}/\text{m}^3$. Wartość tła zanieczyszczenia $R_a = 8 \mu\text{g}/\text{m}^3$. Wykreślono izolinie stężenia: $8.005 \mu\text{g}/\text{m}^3$. Wartość maksymalna stężenia w siatce obliczeniowej $S_{\text{amax}} = 8.018 \mu\text{g}/\text{m}^3$ występuje w punkcie $X = 350 \text{ m}$, $Y = 850 \text{ m}$.



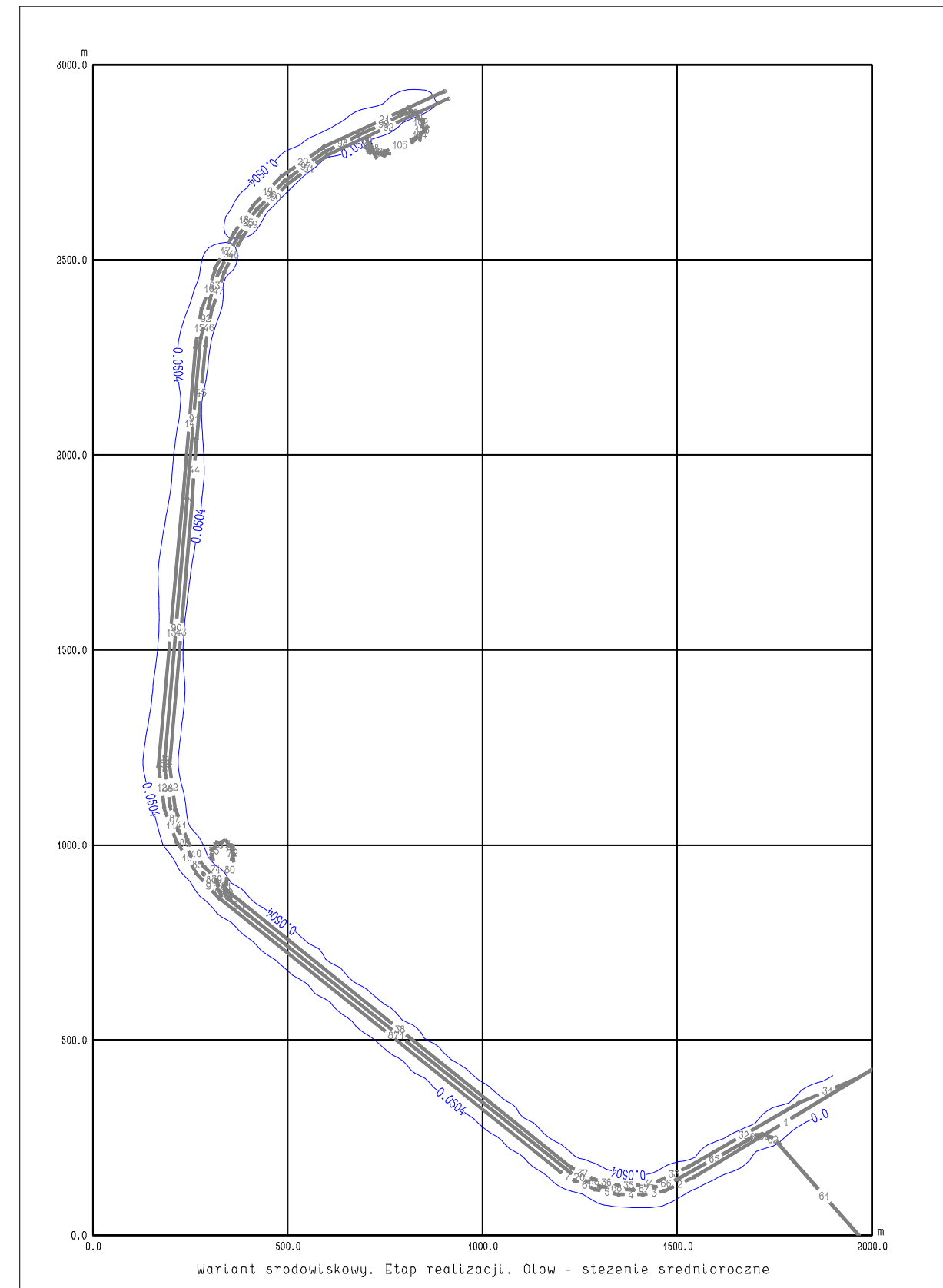
Rys. 3. Pył zawieszony PM10. Stężenie średnioroczne z tłem. Dopuszczalne średnioroczne stężenie z tłem $D_a = 40 \mu\text{g}/\text{m}^3$. Wartość tła zanieczyszczenia $R_a = 34 \mu\text{g}/\text{m}^3$. Wykreślono izolinię stężenia: $34.02 \mu\text{g}/\text{m}^3$. Wartość maksymalna stężenia w siatce obliczeniowej $S_{\text{amax}} = 34.058 \mu\text{g}/\text{m}^3$ występuje w punkcie $X = 350 \text{ m}$, $Y = 850 \text{ m}$.



Rys. 4. Tlenek węgla CO. Stężenie średnioroczne z tłem. Dopuszczalne średnioroczne stężenie z tłem jest nieokreślone. Wartość tła zanieczyszczenia $R_a = 600 \mu\text{g}/\text{m}^3$. Wykreślono izolinię stężenia: $601 \mu\text{g}/\text{m}^3$. Wartość maksymalna stężenia w siatce obliczeniowej $S_{\text{amax}} = 603.7 \mu\text{g}/\text{m}^3$ występuje w punkcie $X = 550 \text{ m}$, $Y = 700 \text{ m}$.

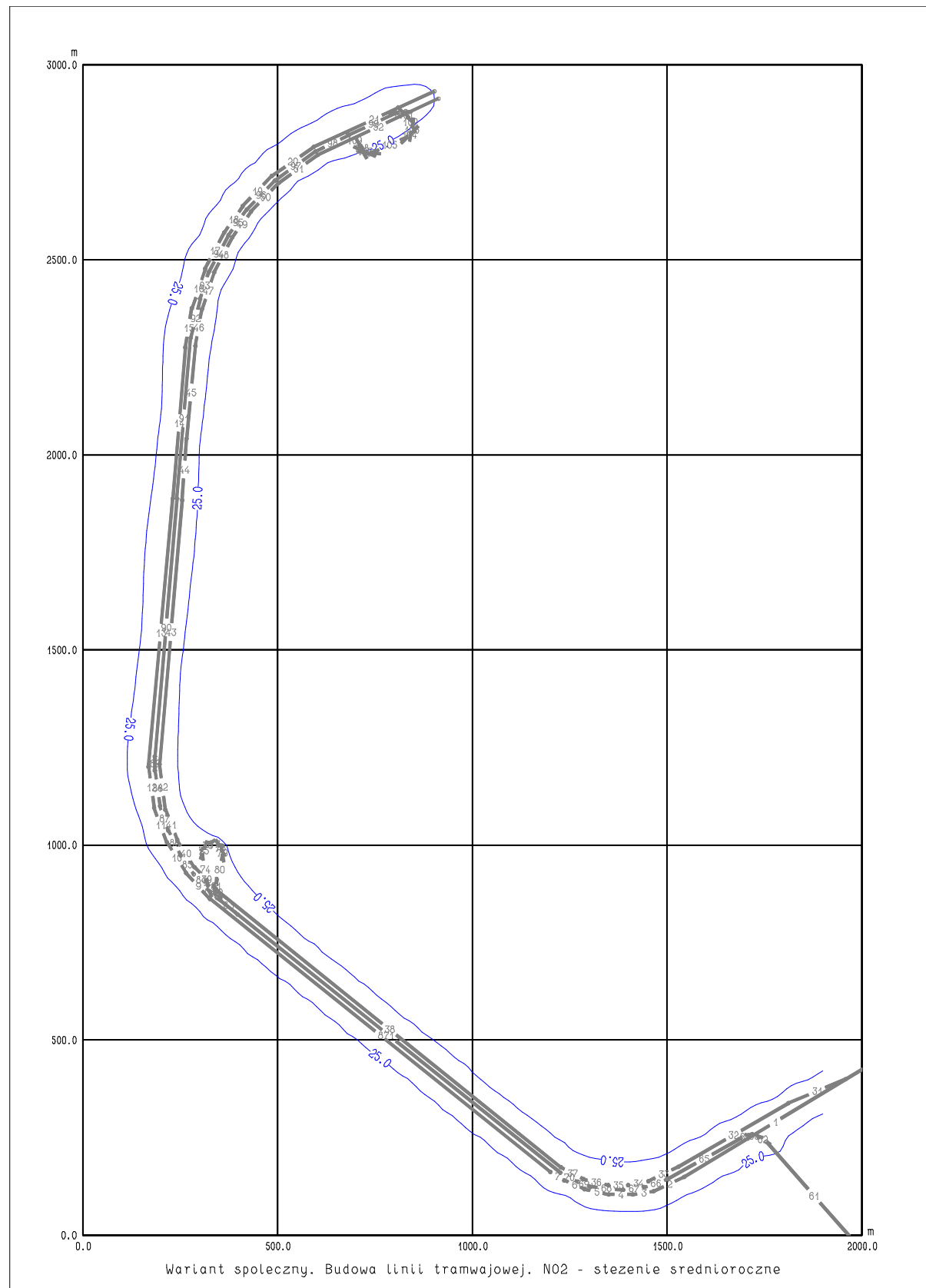


Rys. 5. Benzen. Stężenie średnioroczne z tłem. Dopuszczalne średnioroczne stężenie z tłem $D_a = 5 \mu\text{g}/\text{m}^3$. Wartość tła zanieczyszczenia $R_a = 2.5 \mu\text{g}/\text{m}^3$. Wykreślono izolinie stężenia: $2.503 \mu\text{g}/\text{m}^3$. Wartość maksymalna stężenia w siatce obliczeniowej $S_{\text{amax}} = 2.5066 \mu\text{g}/\text{m}^3$ występuje w punkcie $X = 800 \text{ m}$, $Y = 500 \text{ m}$.

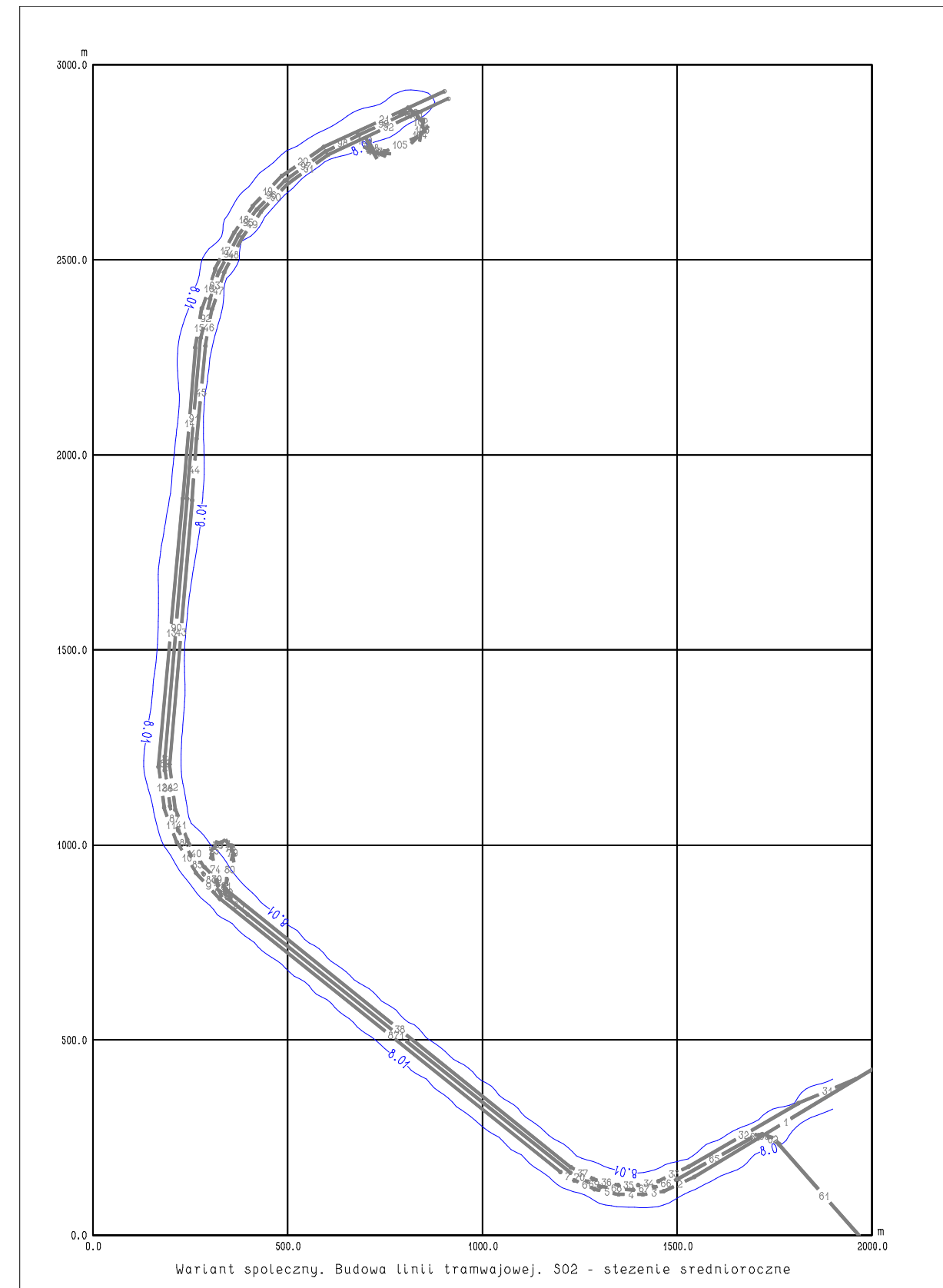


Rys. 6. Ołów. Stężenie średnioroczne z tłem. Dopuszczalne średnioroczne stężenie z tłem $D_a = 0.5 \mu\text{g}/\text{m}^3$. Wartość tła zanieczyszczenia $R_a = 0.05 \mu\text{g}/\text{m}^3$. Wykreślono izolinie stężenia: $0.0504 \mu\text{g}/\text{m}^3$. Wartość maksymalna stężenia w siatce obliczeniowej $S_{\text{amax}} = 0.05087 \mu\text{g}/\text{m}^3$ występuje w punkcie $X = 800 \text{ m}$, $Y = 500 \text{ m}$.

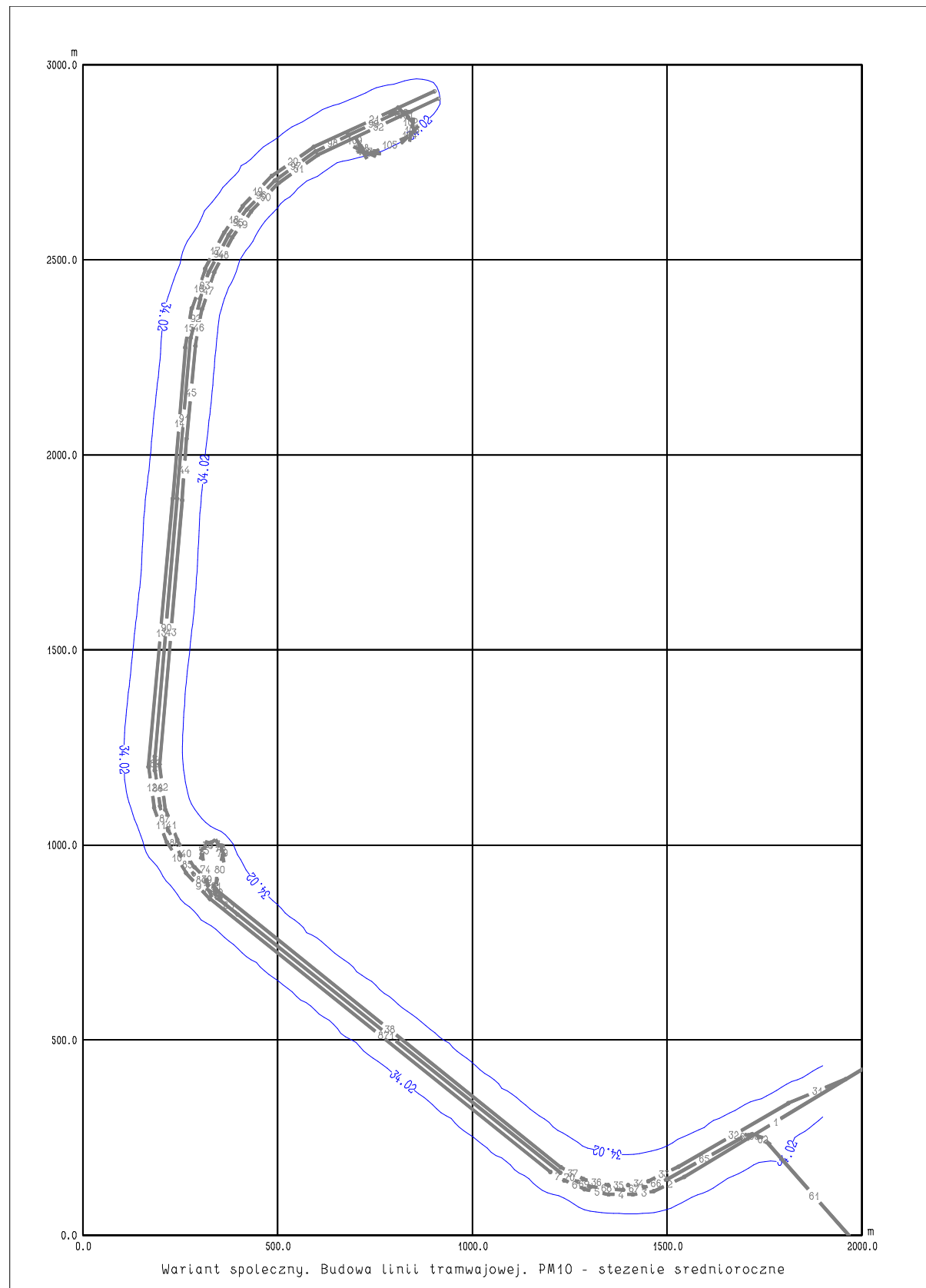
WARIANT SPOŁECZNY



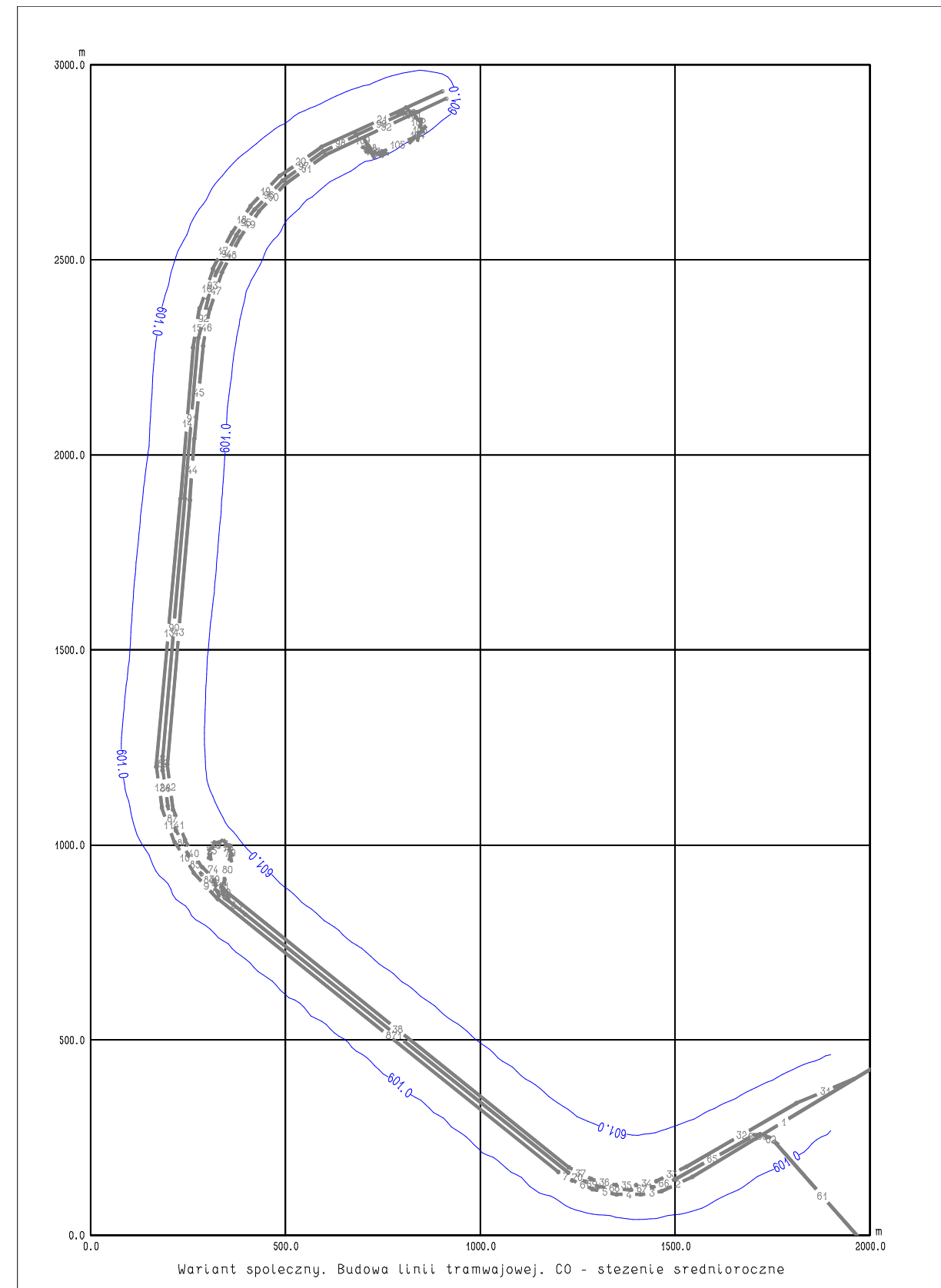
Rys. 7. Dinitlenek azotu NO_2 . Stężenie średnioroczne z tłem. Dopuszczalne średnioroczne stężenie z tłem, ze względu na zdrowie ludzi $D_a = 40 \mu\text{g}/\text{m}^3$. Wartość tła zanieczyszczenia $R_a = 24 \mu\text{g}/\text{m}^3$. Wykreślono izolinię stężenia: $25 \mu\text{g}/\text{m}^3$. Wartość maksymalna stężenia w siatce obliczeniowej $S_{\text{amax}} = 26.952 \mu\text{g}/\text{m}^3$ występuje w punkcie $X = 350 \text{ m}$, $Y = 850 \text{ m}$.



Rys. 8. Dinitlenek siarki SO_2 . Stężenie średnioroczne z tłem. Dopuszczalne średnioroczne stężenie z tłem $D_a = 20 \mu\text{g}/\text{m}^3$. Wartość tła zanieczyszczenia $R_a = 8 \mu\text{g}/\text{m}^3$. Wykreślono izolinię stężenia: $8.01 \mu\text{g}/\text{m}^3$. Wartość maksymalna stężenia w siatce obliczeniowej $S_{\text{amax}} = 8.022 \mu\text{g}/\text{m}^3$ występuje w punkcie $X = 350 \text{ m}$, $Y = 850 \text{ m}$.

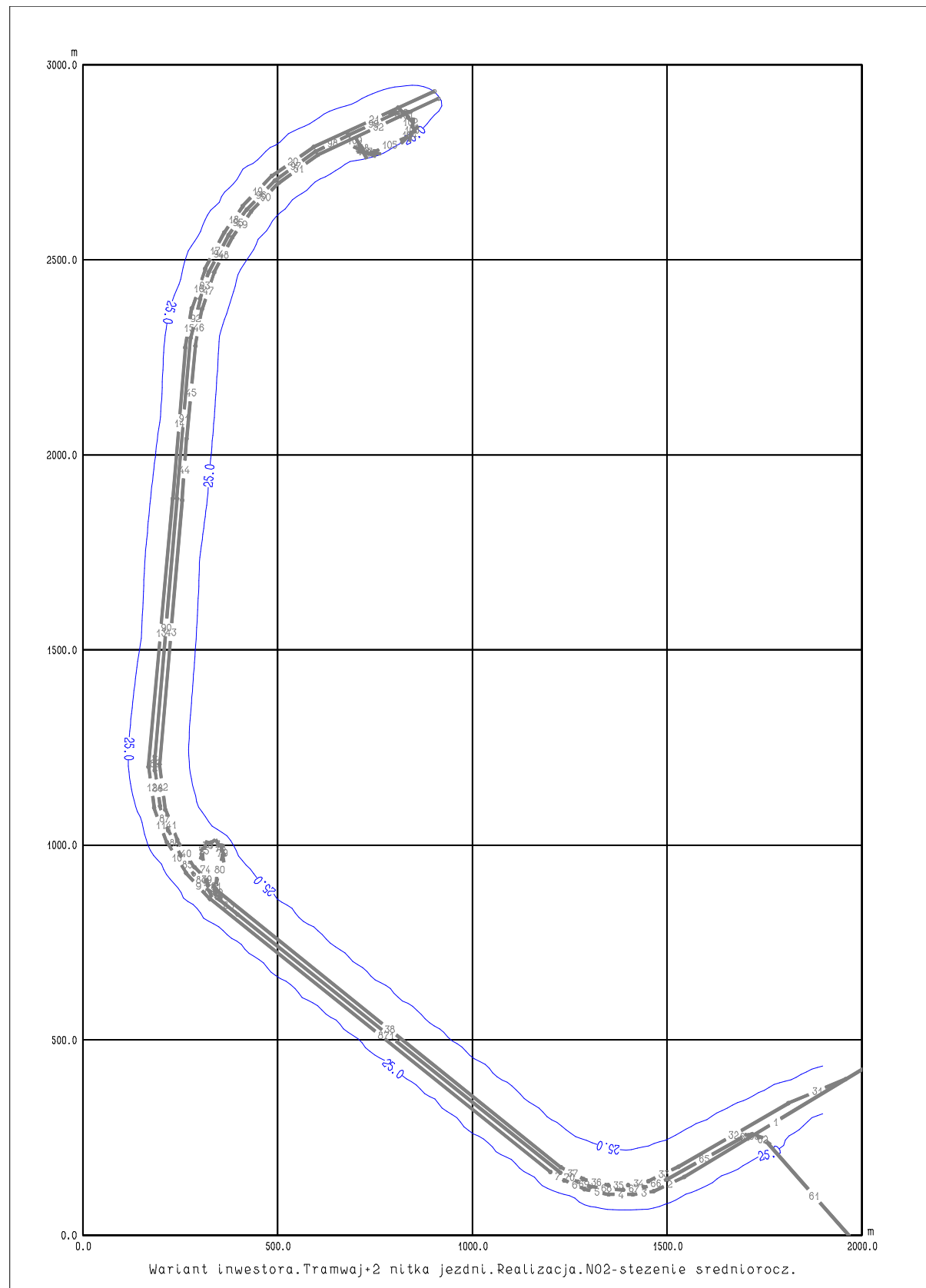


Rys. 9. Pył zawieszony PM10. Stężenie średnioroczne z tłem. Dopuszczalne średnioroczne stężenie z tłem $D_a = 40 \mu\text{g}/\text{m}^3$. Wartość tła zanieczyszczenia $R_a = 34 \mu\text{g}/\text{m}^3$. Wykreślono izolinię stężenia: $34.02 \mu\text{g}/\text{m}^3$. Wartość maksymalna stężenia w siatce obliczeniowej $S_{\text{amax}} = 34.071 \mu\text{g}/\text{m}^3$ występuje w punkcie $X = 350 \text{ m}$, $Y = 850 \text{ m}$.

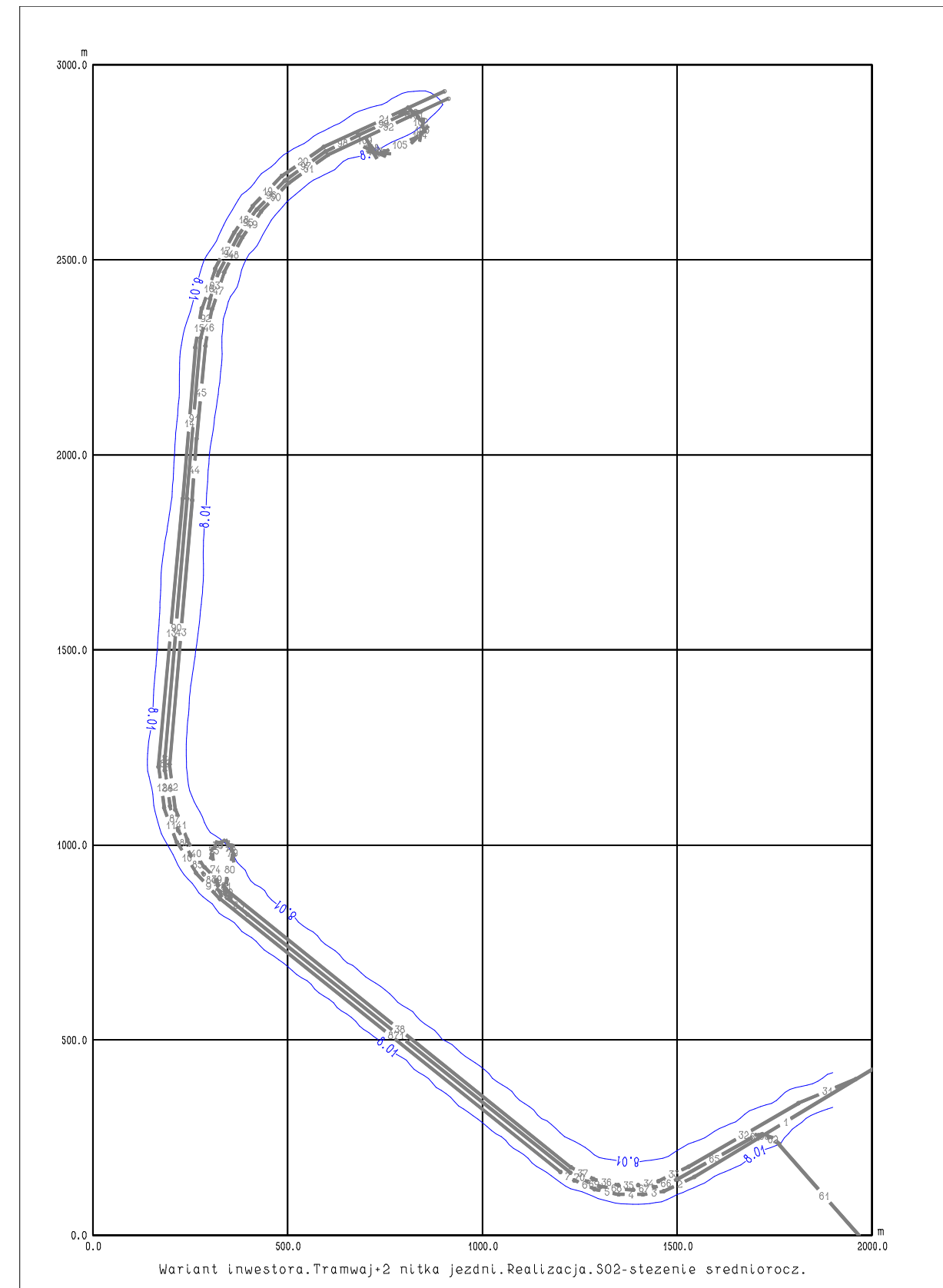


Rys. 10. Tlenek węgla CO. Stężenie średnioroczne z tłem. Dopuszczalne średnioroczne stężenie z tłem jest nieokreślone. Wartość tła zanieczyszczenia $R_a = 600 \mu\text{g}/\text{m}^3$. Wykreślono izolinię stężenia: $601 \mu\text{g}/\text{m}^3$. Wartość maksymalna stężenia w siatce obliczeniowej $S_{\text{amax}} = 604.8 \mu\text{g}/\text{m}^3$ występuje w punkcie $X = 550 \text{ m}$, $Y = 700 \text{ m}$.

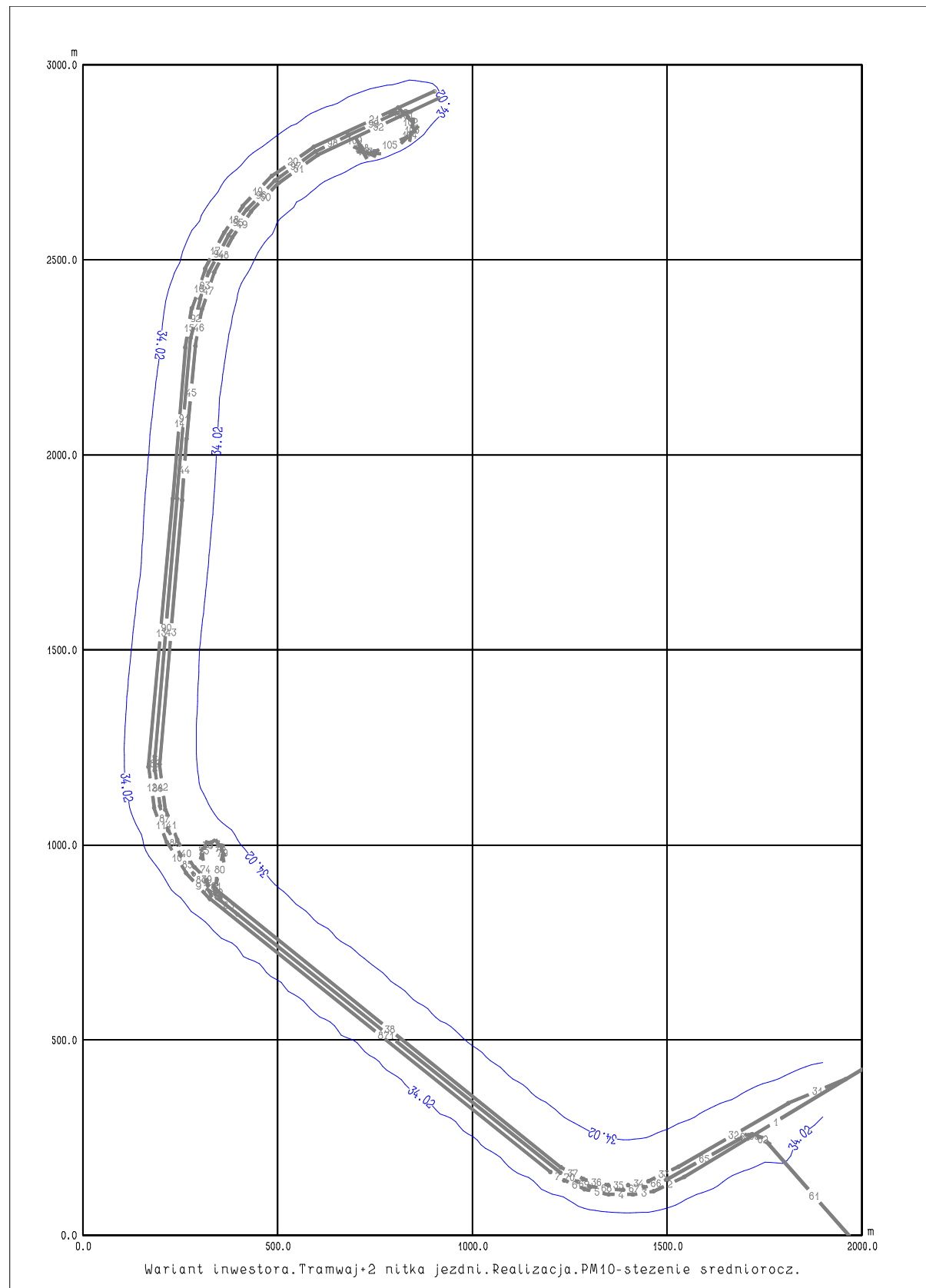
WARIANT INWESTORA



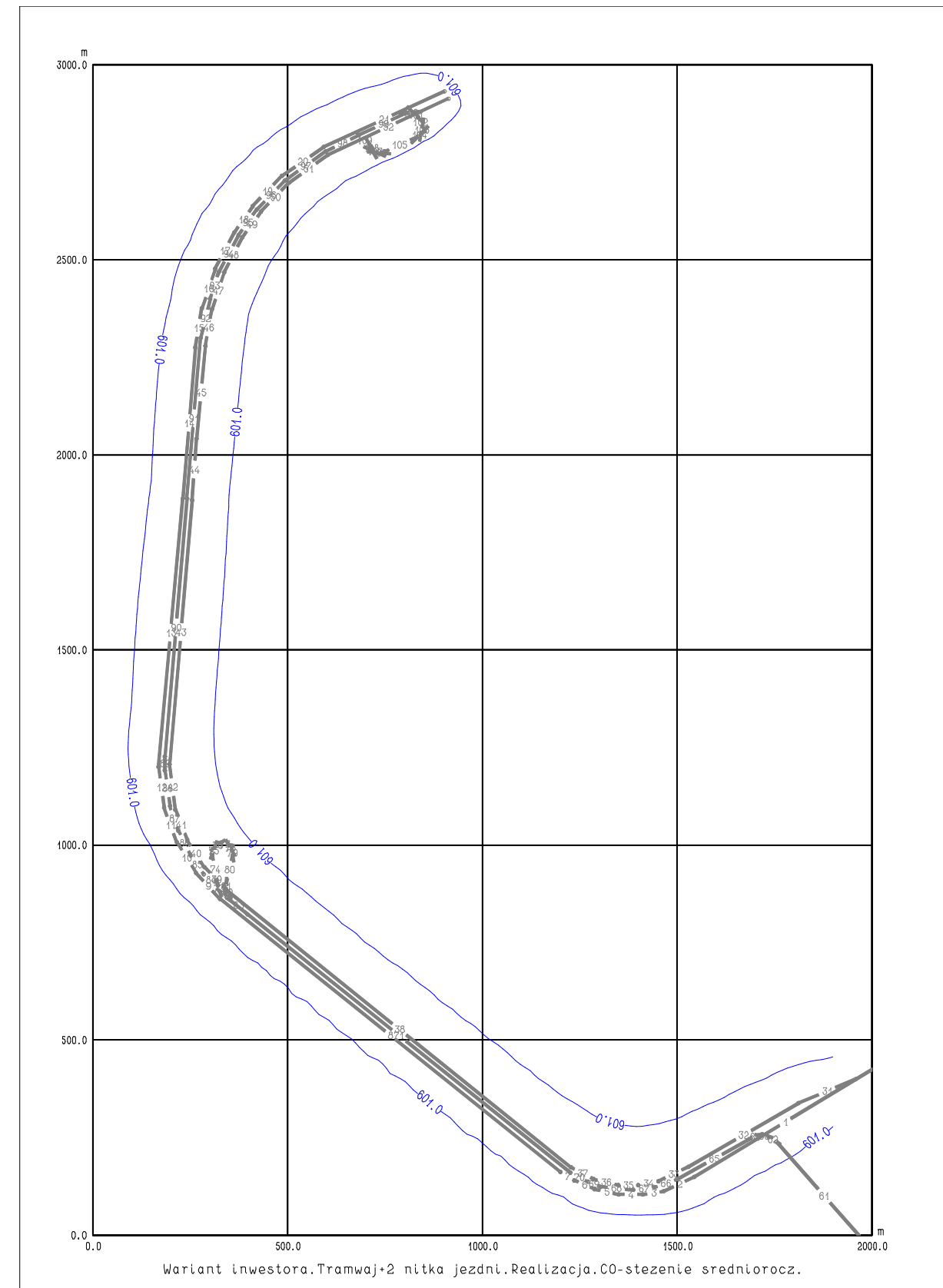
Rys. 13. Dinitlenek azotu NO_2 . Stężenie średnioroczne z tłem. Dopuszczalne średnioroczne stężenie z tłem, ze względu na zdrowie ludzi $D_a = 40 \mu\text{g}/\text{m}^3$. Wartość tła zanieczyszczenia $R_a = 24 \mu\text{g}/\text{m}^3$. Wykreślono izolinie stężenia: $25 \mu\text{g}/\text{m}^3$. Wartość maksymalna stężenia w siatce obliczeniowej $S_{\text{amax}} = 27.037 \mu\text{g}/\text{m}^3$ występuje w punkcie $X = 300 \text{ m}$, $Y = 950 \text{ m}$.



Rys. 14. Dinitlenek siarki SO_2 . Stężenie średnioroczne z tłem. Dopuszczalne średnioroczne stężenie z tłem $D_a = 20 \mu\text{g}/\text{m}^3$. Wartość tła zanieczyszczenia $R_a = 8 \mu\text{g}/\text{m}^3$. Wykreślono izolinie stężenia: $8.01 \mu\text{g}/\text{m}^3$. Wartość maksymalna stężenia w siatce obliczeniowej $S_{\text{amax}} = 8.022 \mu\text{g}/\text{m}^3$ występuje w punkcie $X = 300 \text{ m}$, $Y = 950 \text{ m}$.



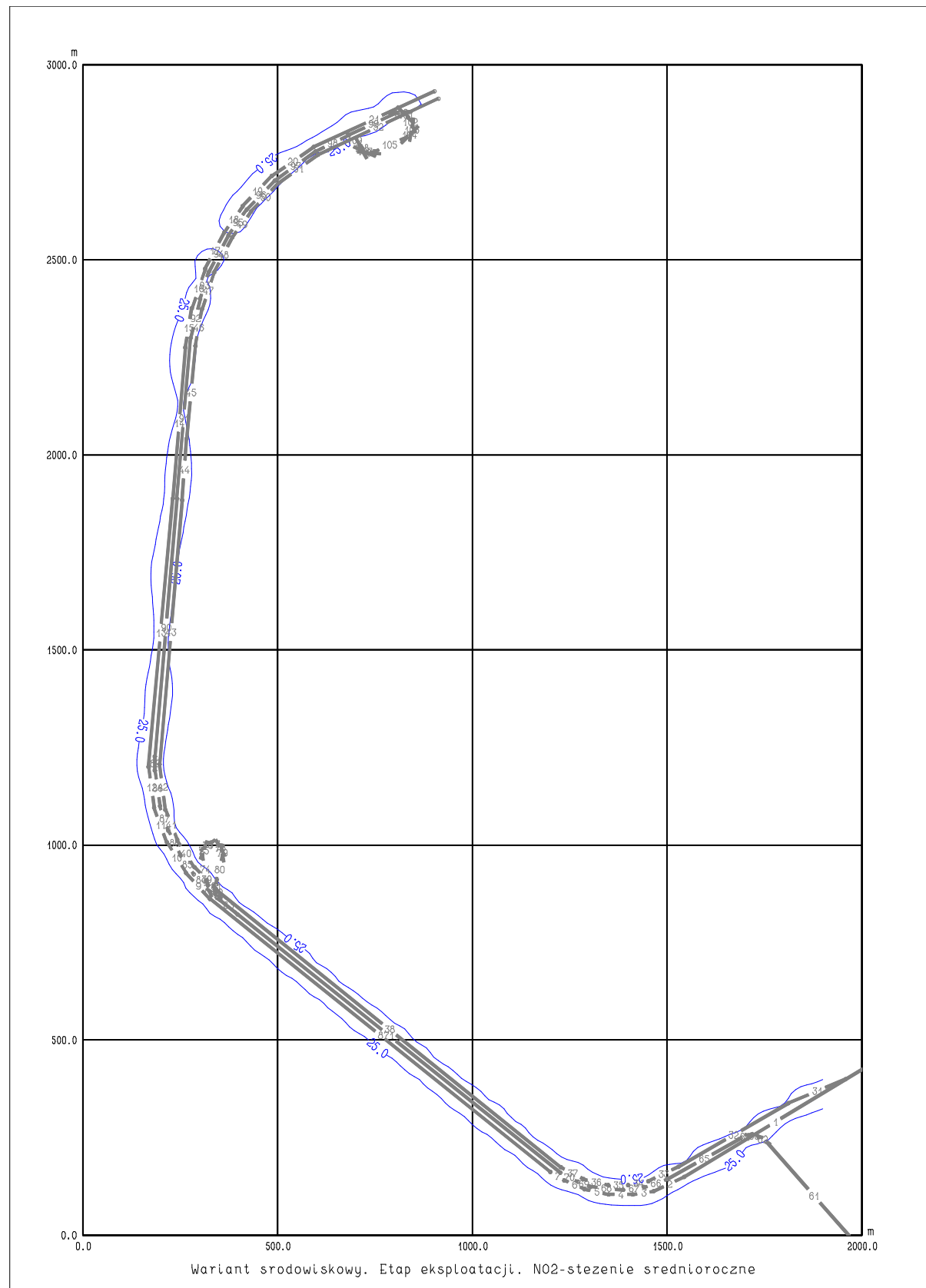
Rys. 15. Pył zawieszony PM10. Stężenie średnioroczne z tłem. Dopuszczalne średnioroczne stężenie z tłem $D_a = 40 \mu\text{g}/\text{m}^3$. Wartość tła zanieczyszczenia $R_a = 34 \mu\text{g}/\text{m}^3$. Wykreślono izolinię stężenia: $34.02 \mu\text{g}/\text{m}^3$. Wartość maksymalna stężenia w siatce obliczeniowej $S_{\text{amax}} = 34.073 \mu\text{g}/\text{m}^3$ występuje w punkcie X = 300 m, Y = 950 m.



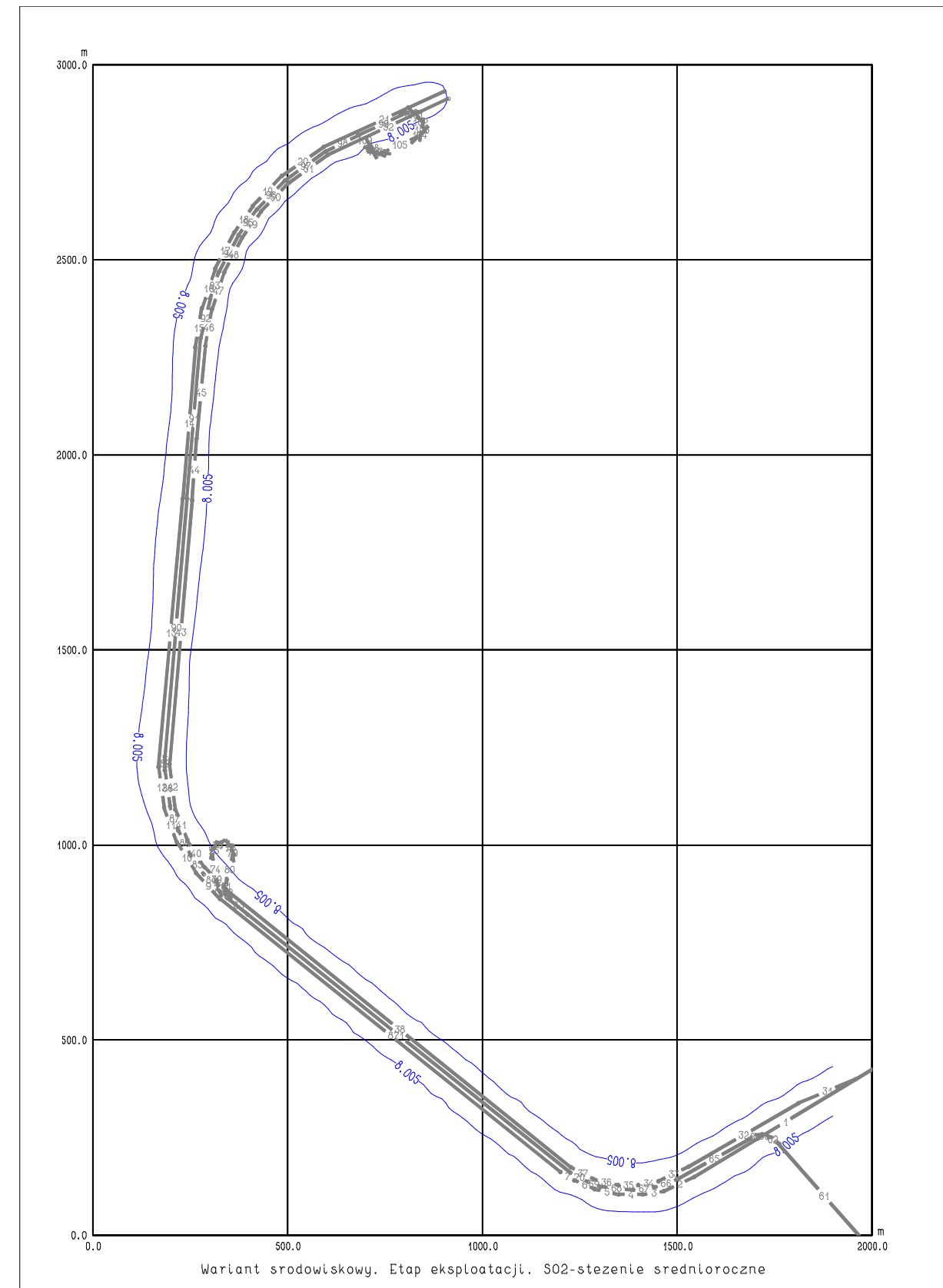
Rys. 16. Tlenek węgla CO. Stężenie średnioroczne z tłem. Dopuszczalne średnioroczne stężenie z tłem jest nieokreślone. Wartość tła zanieczyszczenia $R_a = 600 \mu\text{g}/\text{m}^3$. Wykreślono izolinię stężenia: $601 \mu\text{g}/\text{m}^3$. Wartość maksymalna stężenia w siatce obliczeniowej $S_{\text{amax}} = 604.2 \mu\text{g}/\text{m}^3$ występuje w punkcie X = 1050 m, Y = 300 m.

ETAP EKSPLOATACJI

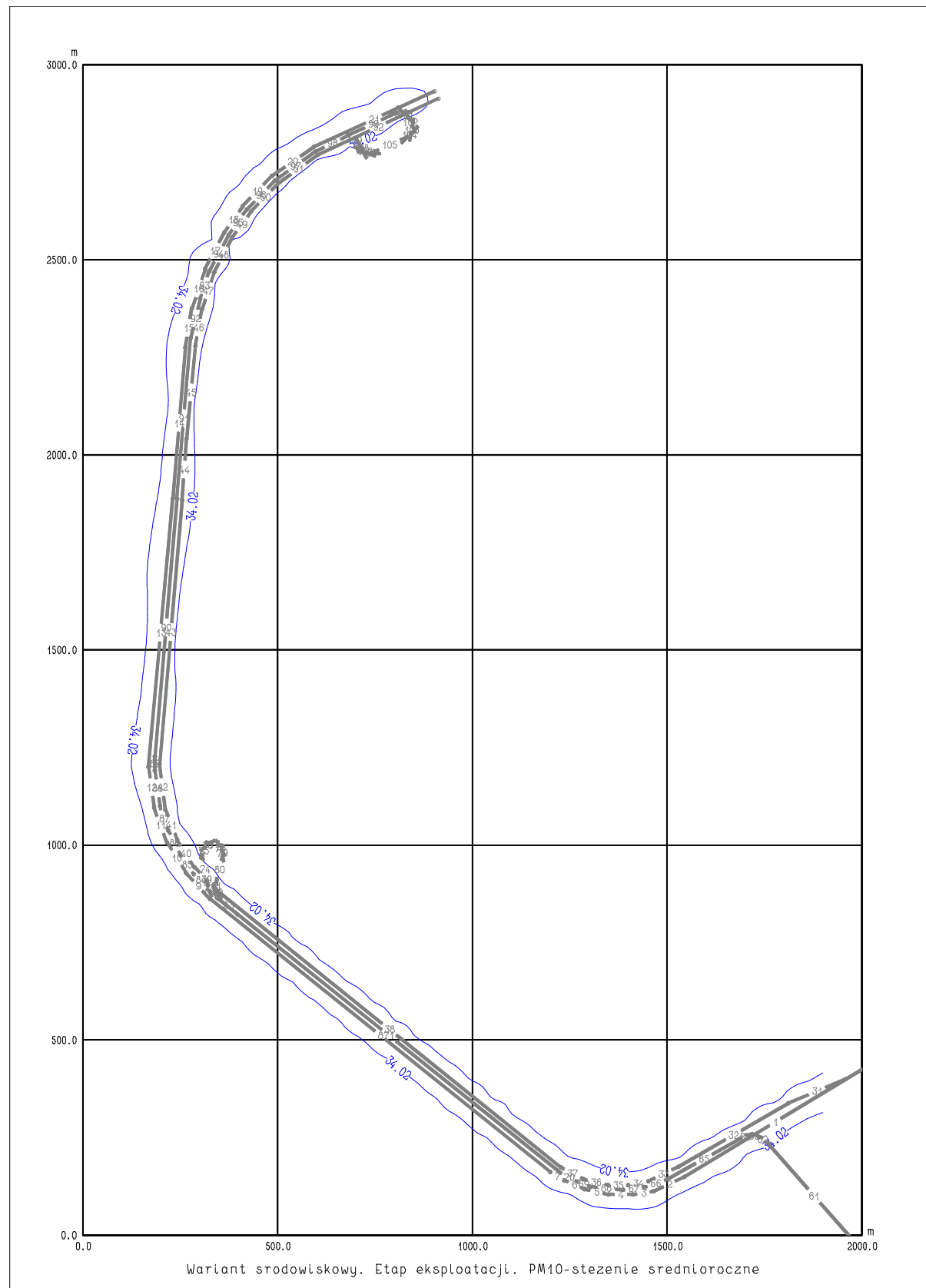
WARIANT ŚRODOWISKOWY



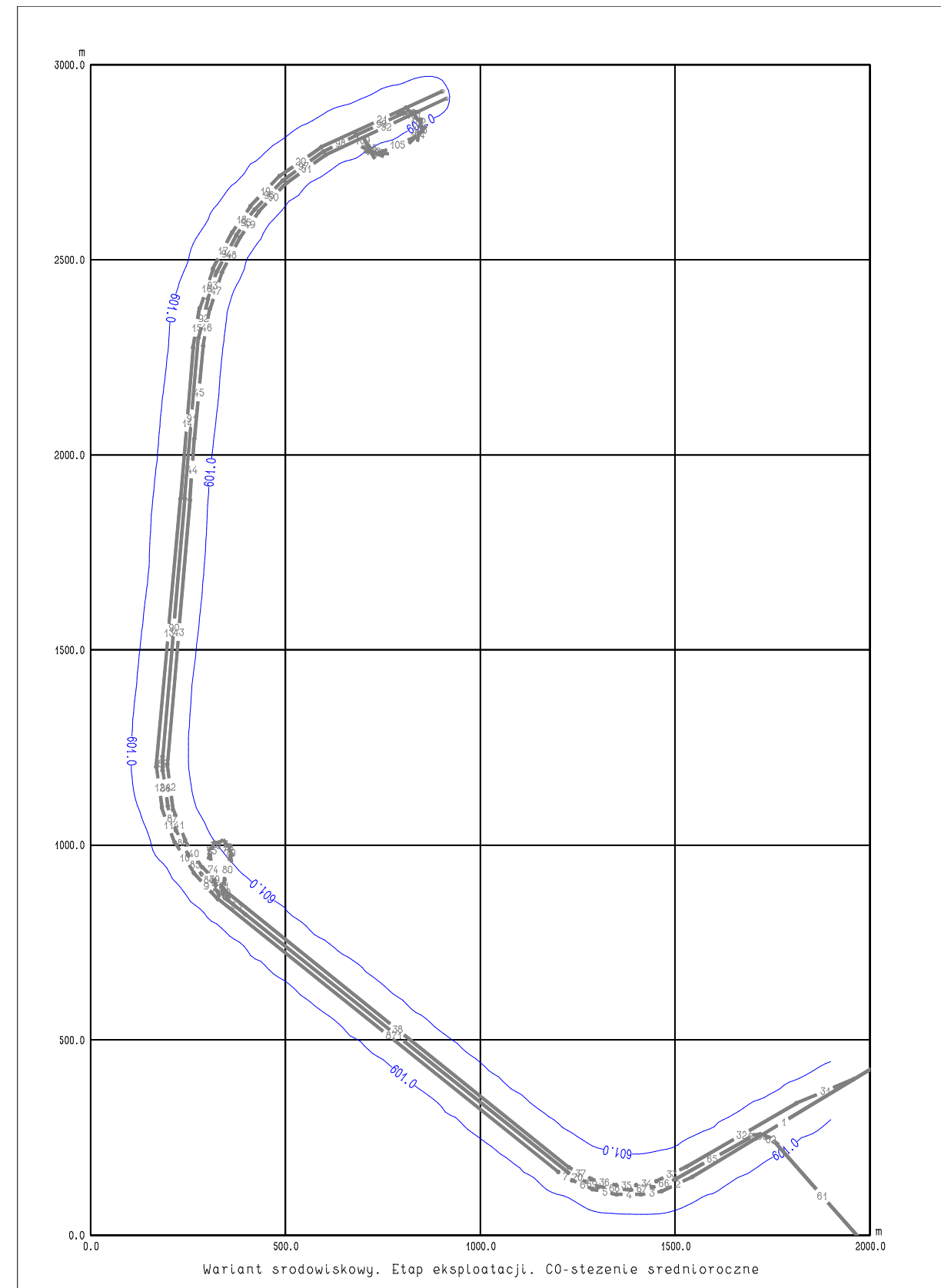
Rys. 19. Dytlenek azotu NO_2 . Stężenie średnioroczne z tłem. Dopuszczalne średnioroczne stężenie z tłem, ze względu na zdrowie ludzi $D_a = 40 \mu\text{g}/\text{m}^3$. Wartość tła zanieczyszczenia $R_a = 24 \mu\text{g}/\text{m}^3$. Wykreślono izolinie stężenia: $25 \mu\text{g}/\text{m}^3$. Wartość maksymalna stężenia w siatce obliczeniowej $S_{\text{amax}} = 25.921 \mu\text{g}/\text{m}^3$ występuje w punkcie $X = 550 \text{ m}$, $Y = 700 \text{ m}$.



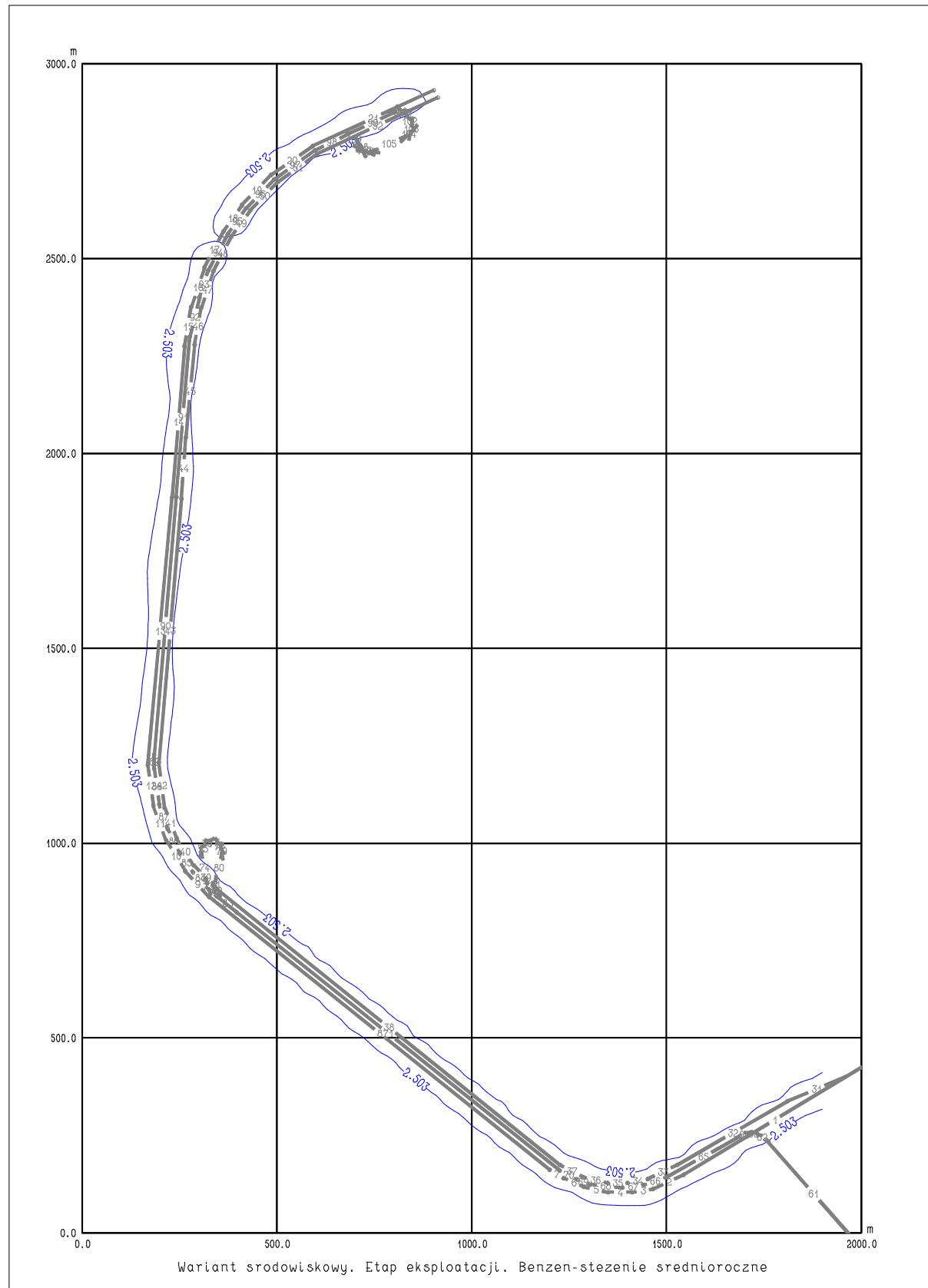
Rys. 20. Dytlenek siarki SO_2 . Stężenie średnioroczne z tłem. Dopuszczalne średnioroczne stężenie z tłem $D_a = 20 \mu\text{g}/\text{m}^3$. Wartość tła zanieczyszczenia $R_a = 8 \mu\text{g}/\text{m}^3$. Wykreślono izolinie stężenia: $8.005 \mu\text{g}/\text{m}^3$. Wartość maksymalna stężenia w siatce obliczeniowej $S_{\text{amax}} = 8.015 \mu\text{g}/\text{m}^3$ występuje w punkcie $X = 550 \text{ m}$, $Y = 700 \text{ m}$.



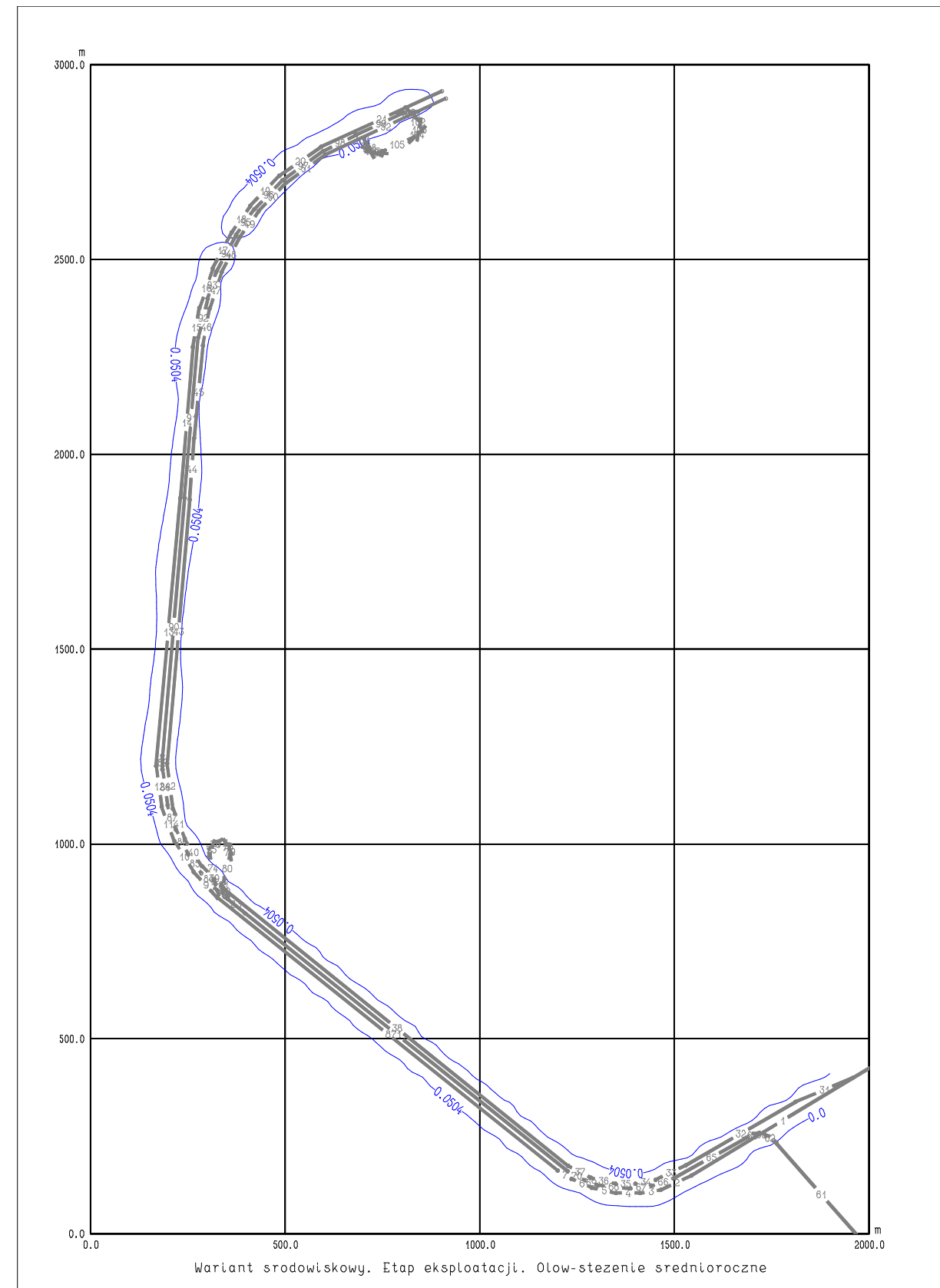
Rys. 21. Pył zawieszony PM10. Stężenie średnioroczne z tłem. Dopuszczalne średnioroczne stężenie z tłem $D_a = 40 \mu\text{g}/\text{m}^3$. Wartość tła zanieczyszczenia $R_a = 34 \mu\text{g}/\text{m}^3$. Wykreślono izolinie stężenia: $34.02 \mu\text{g}/\text{m}^3$. Wartość maksymalna stężenia w siatce obliczeniowej $S_{\text{amax}} = 34.047 \mu\text{g}/\text{m}^3$ występuje w punkcie $X = 550 \text{ m}$, $Y = 700 \text{ m}$.



Rys. 22. Tlenek węgla CO. Stężenie średnioroczne z tłem. Dopuszczalne średnioroczne stężenie z tłem jest nieokreślone. Wartość tła zanieczyszczenia $R_a = 600 \mu\text{g}/\text{m}^3$. Wykreślono izolinie stężenia: $601 \mu\text{g}/\text{m}^3$. Wartość maksymalna stężenia w siatce obliczeniowej $S_{\text{amax}} = 603.6 \mu\text{g}/\text{m}^3$ występuje w punkcie $X = 550 \text{ m}$, $Y = 700 \text{ m}$.

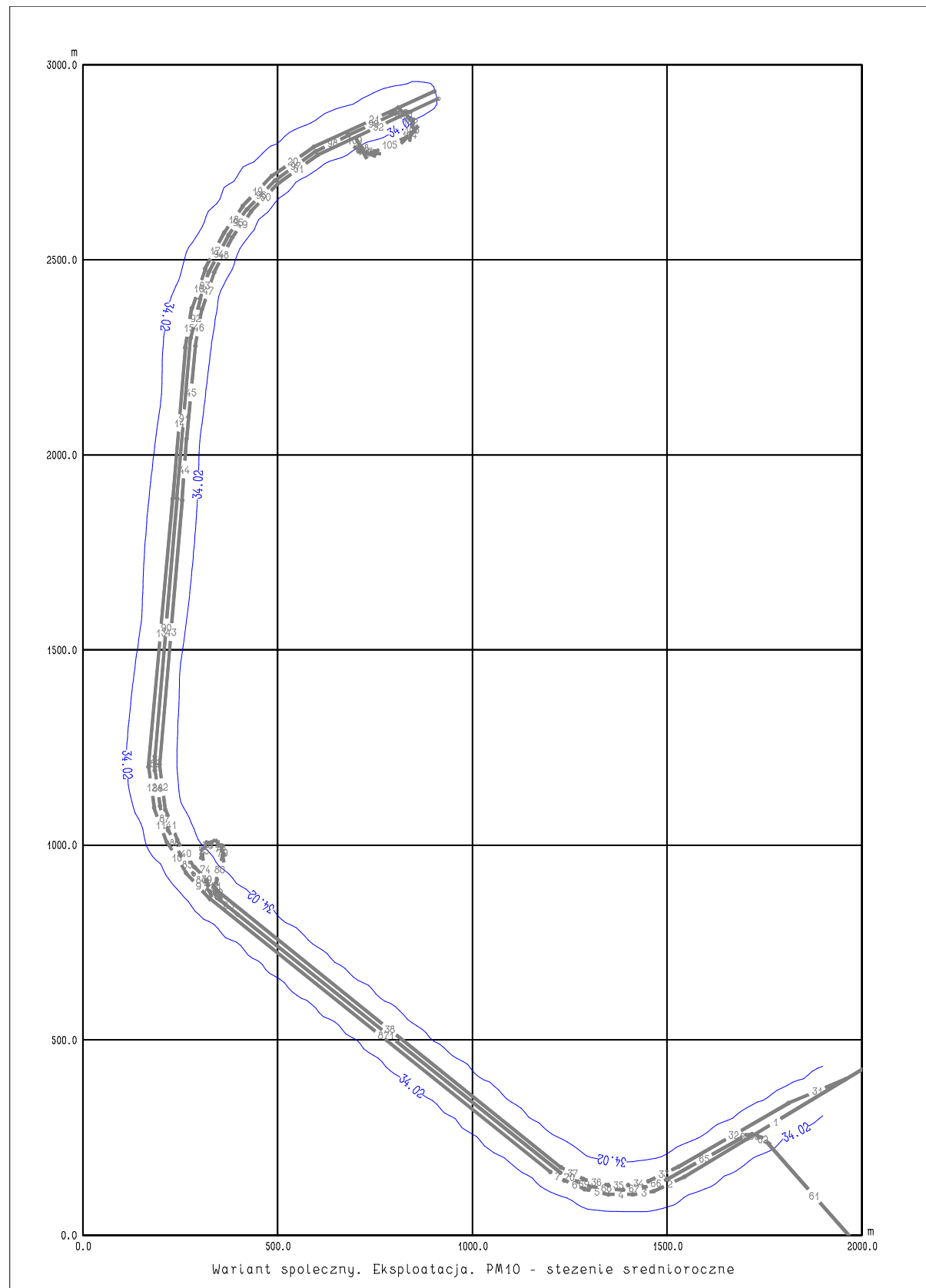


Rys. 23. Benzen. Stężenie średnioroczne z tłem. Dopuszczalne średnioroczne stężenie z tłem $D_a = 5 \mu\text{g}/\text{m}^3$. Wartość tła zanieczyszczenia $R_a = 2.5 \mu\text{g}/\text{m}^3$. Wykreślono izolinię stężenia: $2.503 \mu\text{g}/\text{m}^3$. Wartość maksymalna stężenia w siatce obliczeniowej $S_{\text{amax}} = 2.5066 \mu\text{g}/\text{m}^3$ występuje w punkcie $X = 550 \text{ m}$, $Y = 700 \text{ m}$.

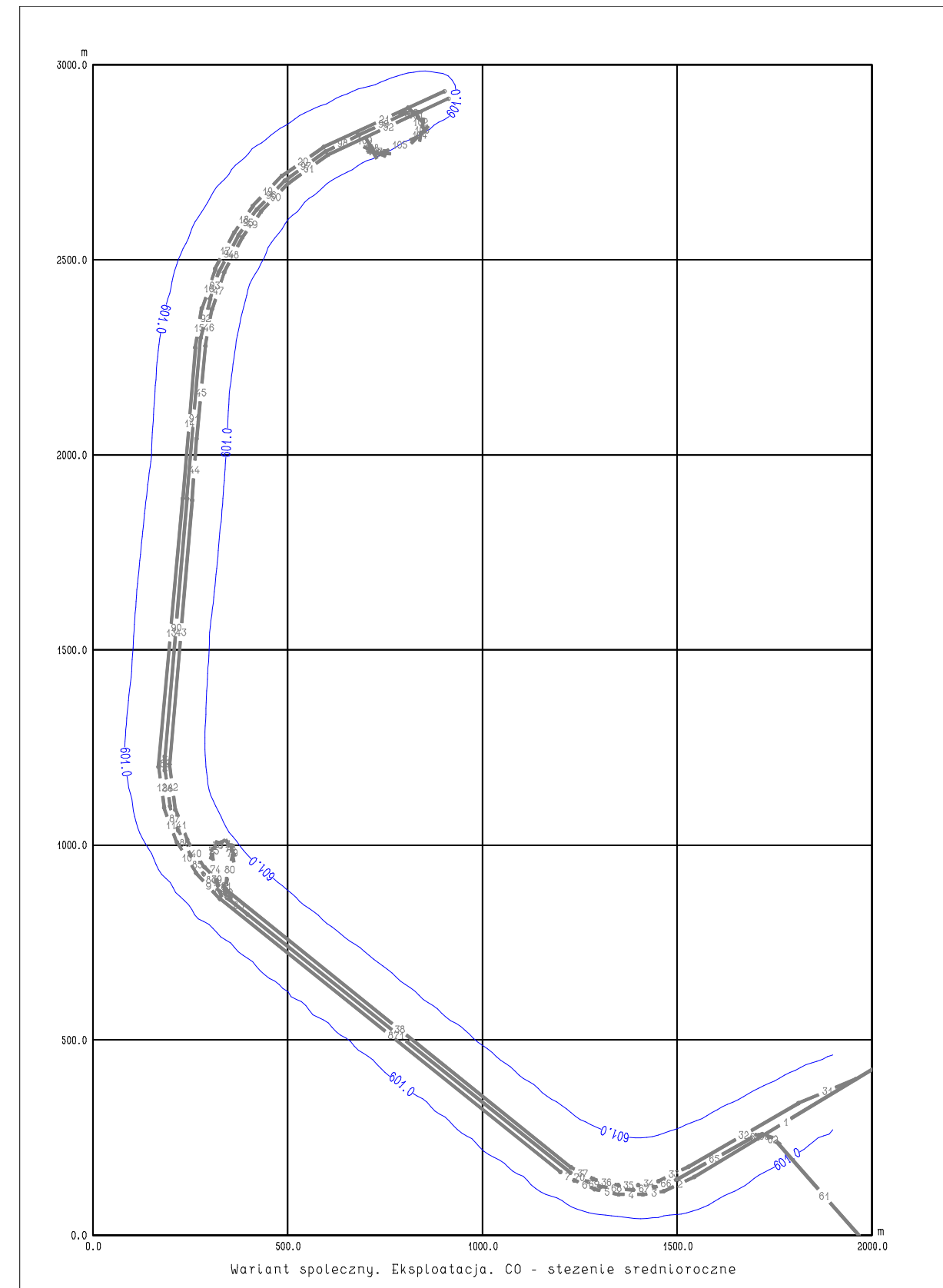


Rys. 24. Ołów. Stężenie średnioroczne z tłem. Dopuszczalne średnioroczne stężenie z tłem $D_a = 0.5 \mu\text{g}/\text{m}^3$. Wartość tła zanieczyszczenia $R_a = 0.05 \mu\text{g}/\text{m}^3$. Wykreślono izolinię stężenia: $0.0505 \mu\text{g}/\text{m}^3$. Wartość maksymalna stężenia w siatce obliczeniowej $S_{\text{amax}} = 0.05088 \mu\text{g}/\text{m}^3$ występuje w punkcie $X = 550 \text{ m}$, $Y = 700 \text{ m}$.

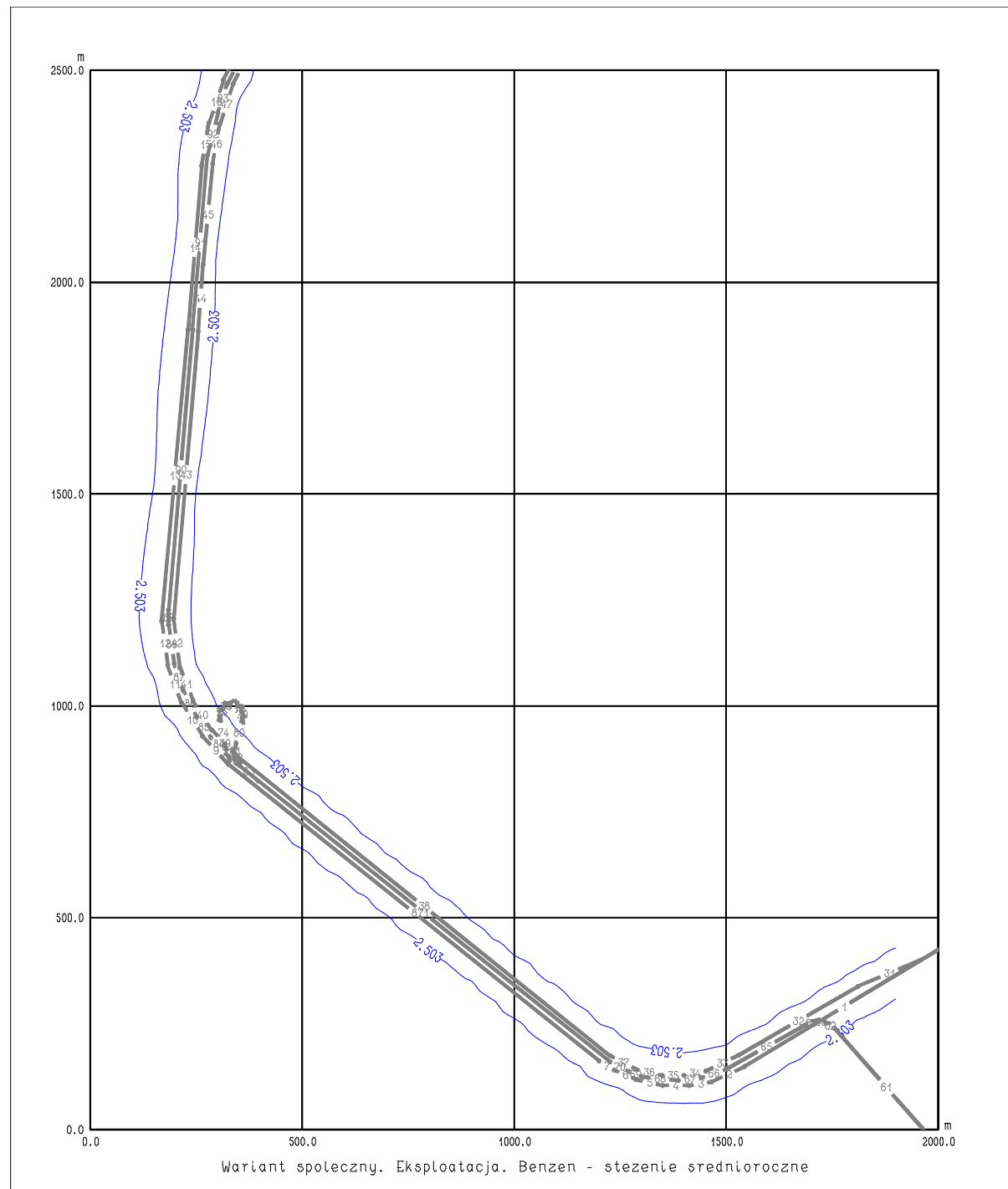
WARIANT SPOŁECZNY



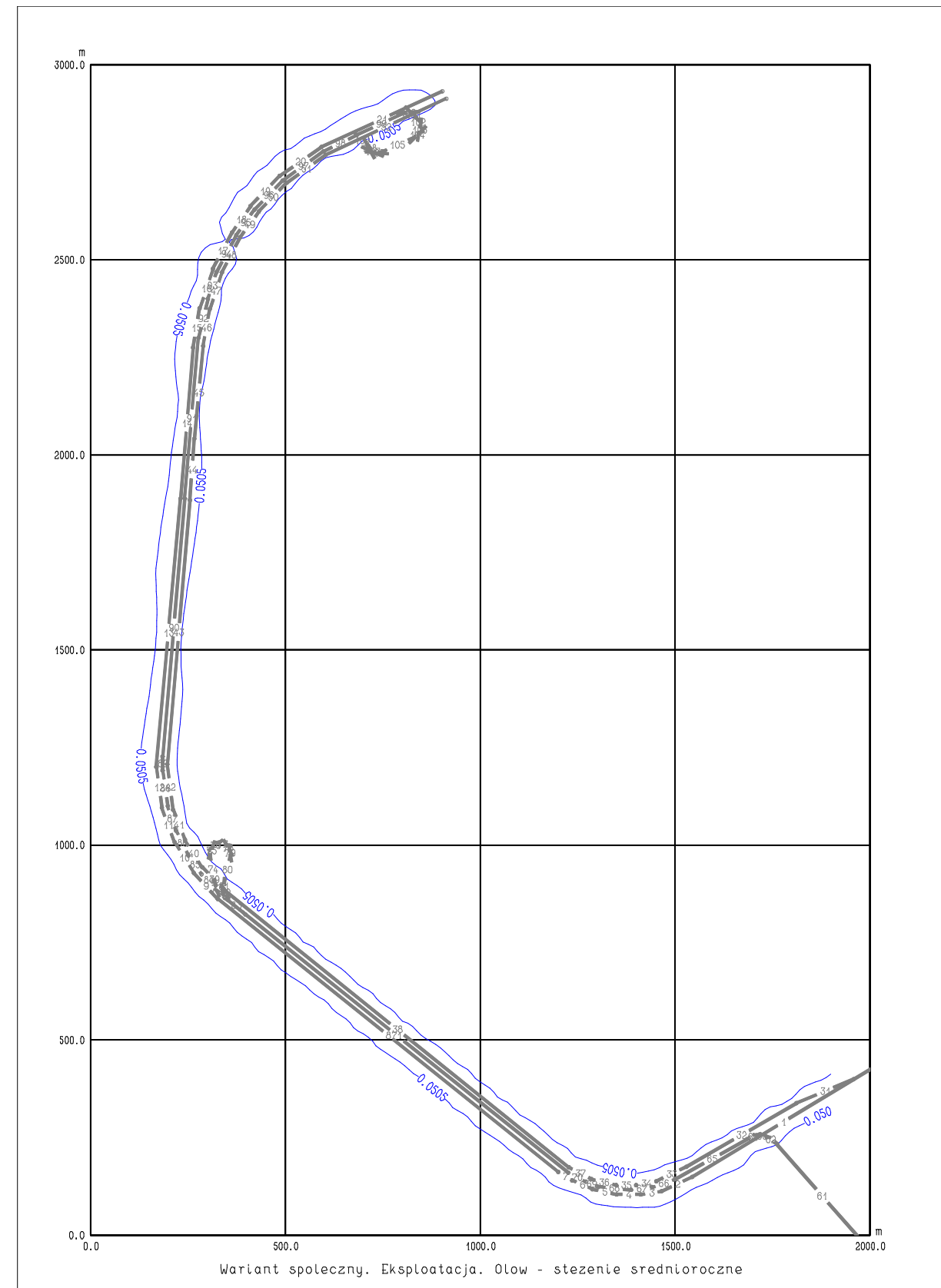
Rys. 27. Pył zawieszony PM10. Stężenie średnioroczne z tłem. Dopuszczalne średnioroczne stężenie z tłem $D_a = 40 \mu\text{g}/\text{m}^3$. Wartość tła zanieczyszczenia $R_a = 34 \mu\text{g}/\text{m}^3$. Wykreślono izolinię stężenia: $34.02 \mu\text{g}/\text{m}^3$. Wartość maksymalna stężenia w siatce obliczeniowej $S_{\text{amax}} = 34.060 \mu\text{g}/\text{m}^3$ występuje w punkcie $X = 800 \text{ m}$, $Y = 500 \text{ m}$.



Rys. 28. Tlenek węgla CO. Stężenie średnioroczne z tłem. Dopuszczalne średnioroczne stężenie z tłem jest nieokreślone. Wartość tła zanieczyszczenia $R_a = 600 \mu\text{g}/\text{m}^3$. Wykreślono izolinię stężenia: $602 \mu\text{g}/\text{m}^3$. Wartość maksymalna stężenia w siatce obliczeniowej $S_{\text{amax}} = 604.7 \mu\text{g}/\text{m}^3$ występuje w punkcie $X = 800 \text{ m}$, $Y = 500 \text{ m}$.

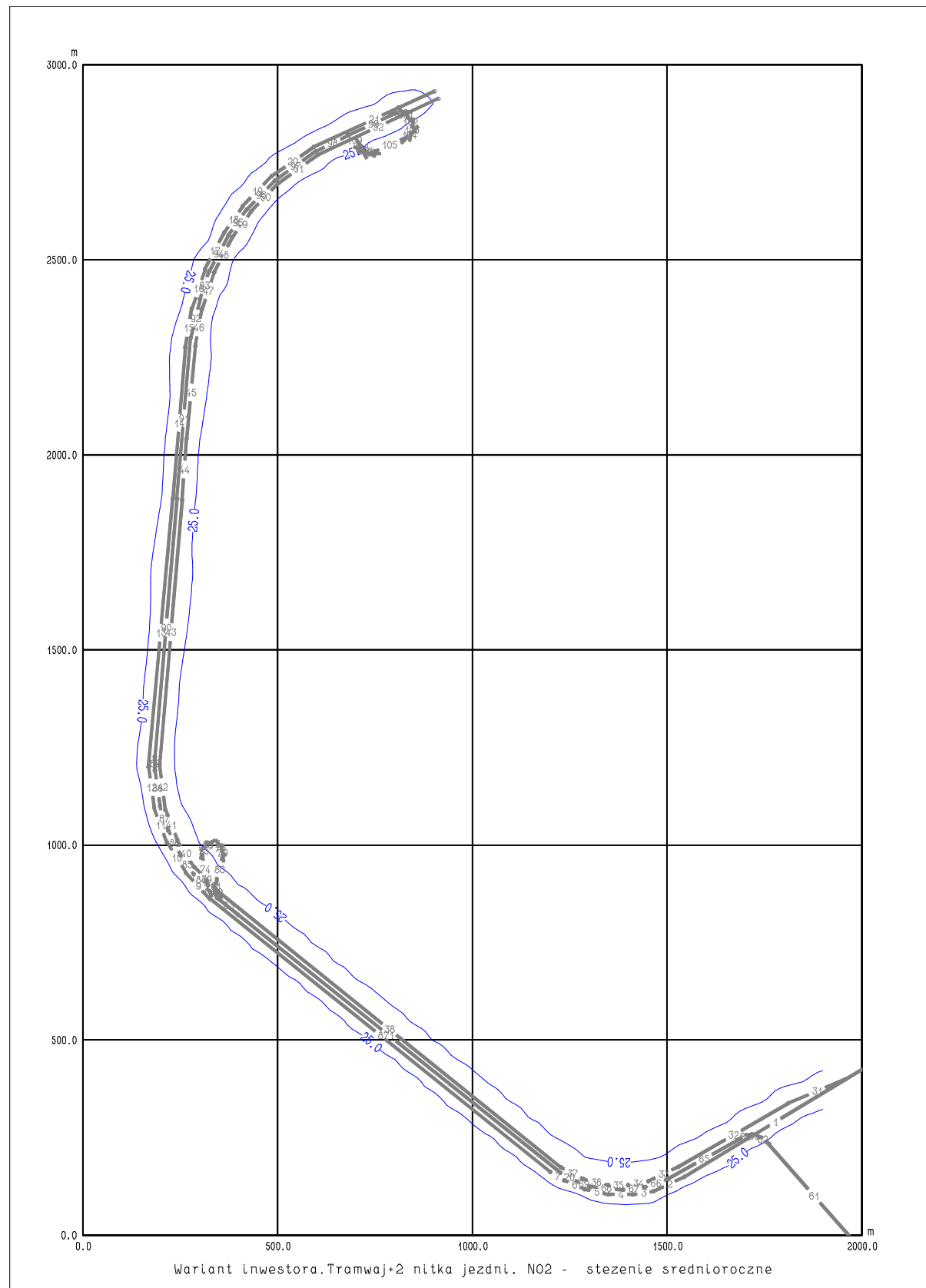


Rys. 29. Benzen. Stężenie średnioroczne z tłem. Dopuszczalne średnioroczne stężenie z tłem $D_a = 5 \mu\text{g}/\text{m}^3$. Wartość tła zanieczyszczenia $R_a = 2.5 \mu\text{g}/\text{m}^3$. Wykreślono izolinię stężenia: $2.503 \mu\text{g}/\text{m}^3$. Wartość maksymalna stężenia w siatce obliczeniowej $S_{\text{amax}} = 2.5085 \mu\text{g}/\text{m}^3$ występuje w punkcie $X = 800 \text{ m}$, $Y = 500 \text{ m}$.

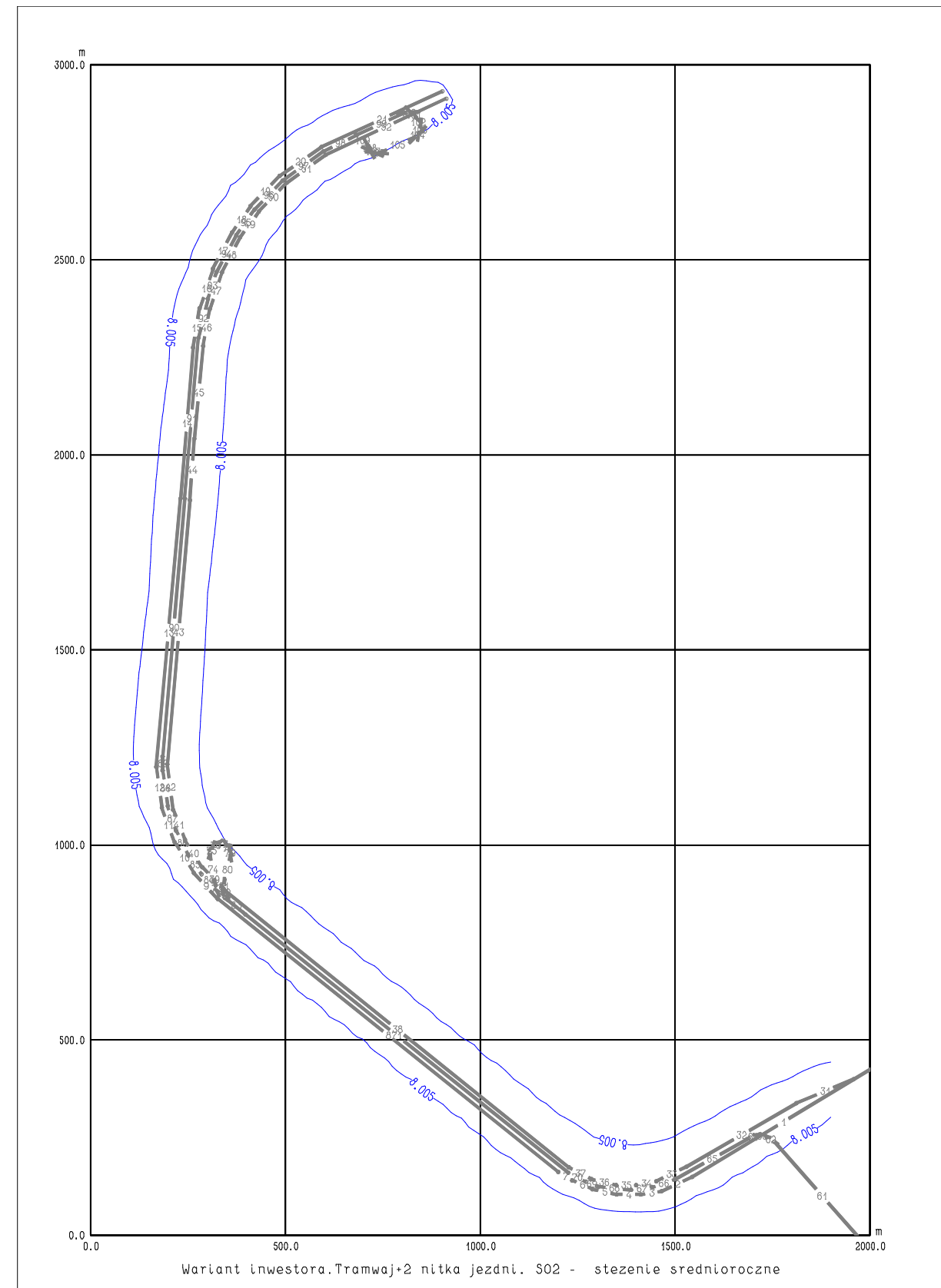


Rys. 30. Ołów. Stężenie średnioroczne z tłem. Dopuszczalne średnioroczne stężenie z tłem $D_a = 0.5 \mu\text{g}/\text{m}^3$. Wartość tła zanieczyszczenia $R_a = 0.05 \mu\text{g}/\text{m}^3$. Wykreślono izolinię stężenia: $0.0505 \mu\text{g}/\text{m}^3$. Wartość maksymalna stężenia w siatce obliczeniowej $S_{\text{amax}} = 0.05113 \mu\text{g}/\text{m}^3$ występuje w punkcie $X = 800 \text{ m}$, $Y = 500 \text{ m}$.

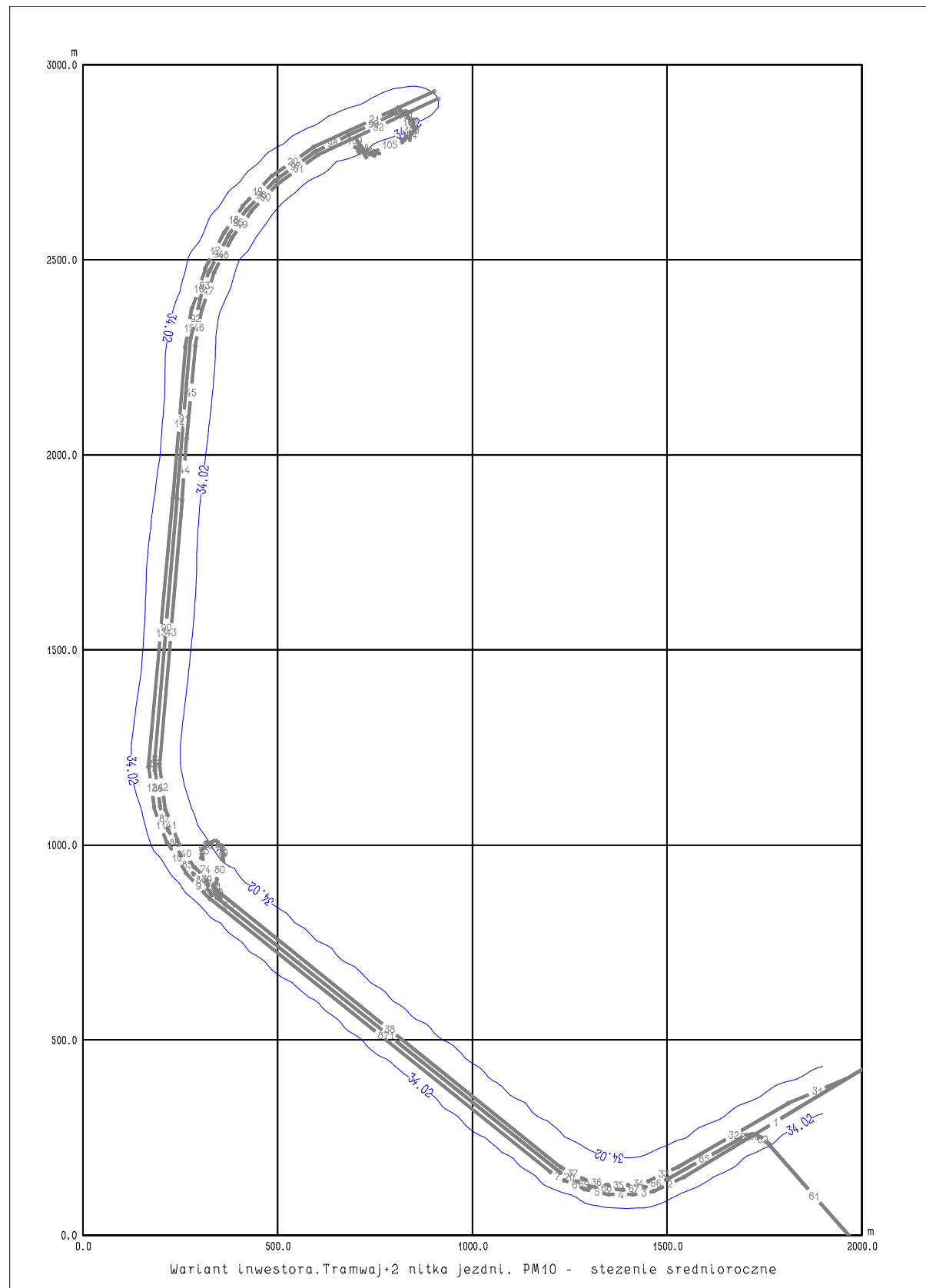
WARIANT INWESTORA



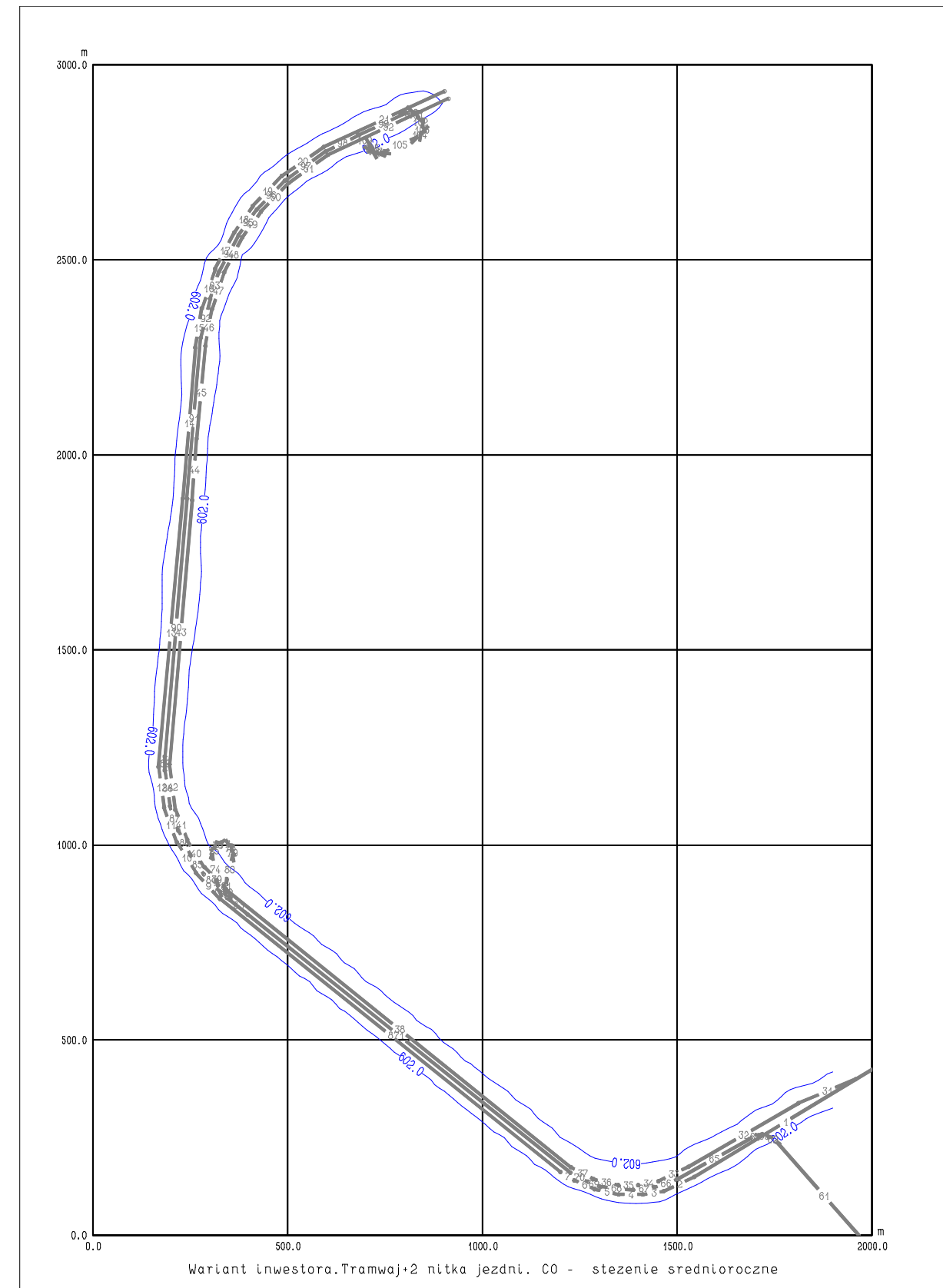
Rys. 31. Ditlenek azotu NO₂. Stężenie średnioroczne z tłem. Dopuszczalne średnioroczne stężenie z tłem, ze względu na zdrowie ludzi D_a = 40 µg/m³. Wartość tła zanieczyszczenia R_a = 24 µg/m³. Wykreślono izolinie stężenia: 25 µg/m³. Wartość maksymalna stężenia w siatce obliczeniowej S_{amax} = 26.128 µg/m³ występuje w punkcie X = 1050, Y = 300 m.



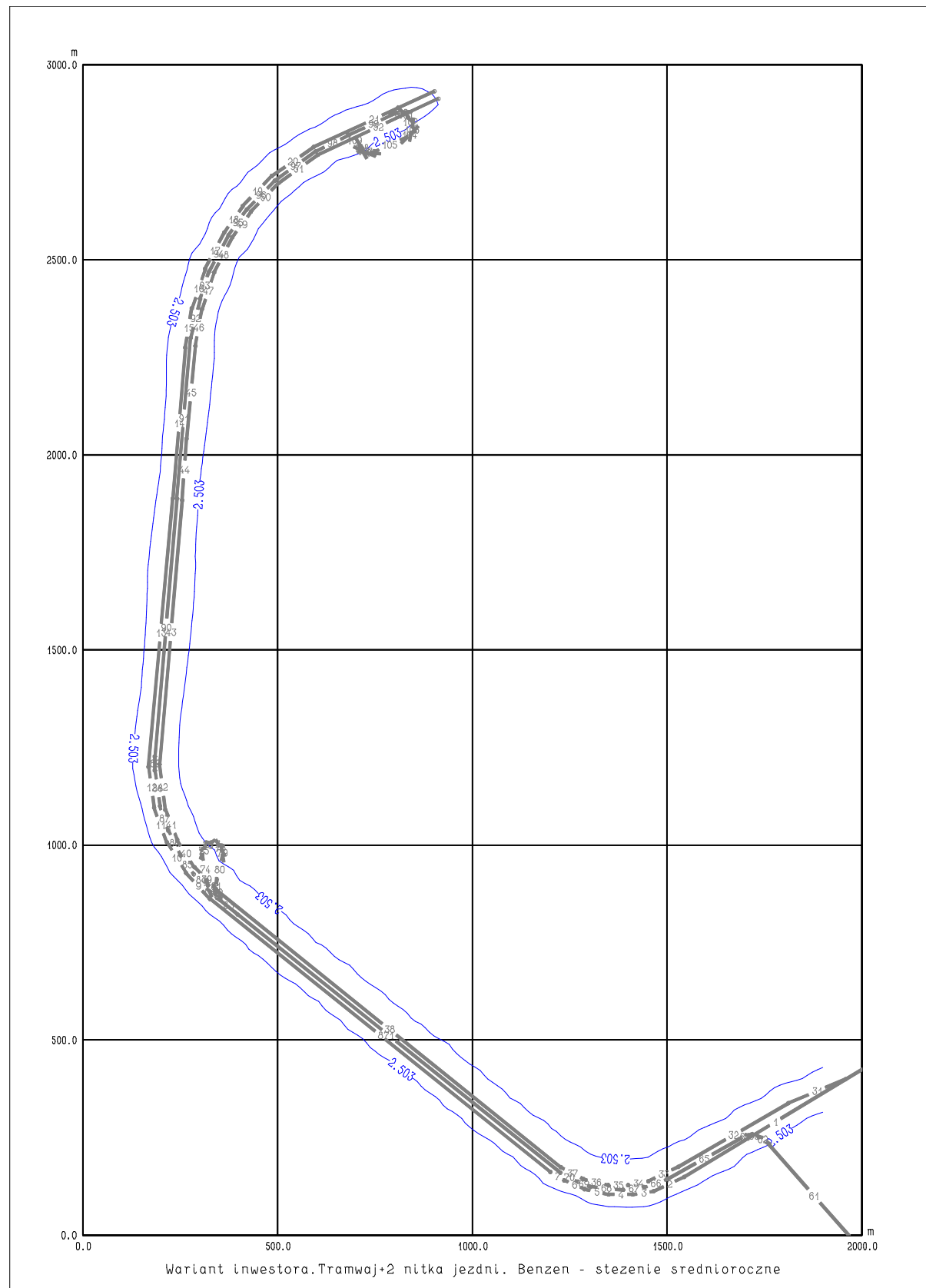
Rys. 32. Ditlenek siarki SO₂. Stężenie średnioroczne z tłem. Dopuszczalne średnioroczne stężenie z tłem D_a = 20 µg/m³. Wartość tła zanieczyszczenia R_a = 8 µg/m³. Wykreślono izolinie stężenia: 8.005 µg/m³. Wartość maksymalna stężenia w siatce obliczeniowej S_{amax} = 8.016 µg/m³ występuje w punkcie X = 1050, Y = 300 m.



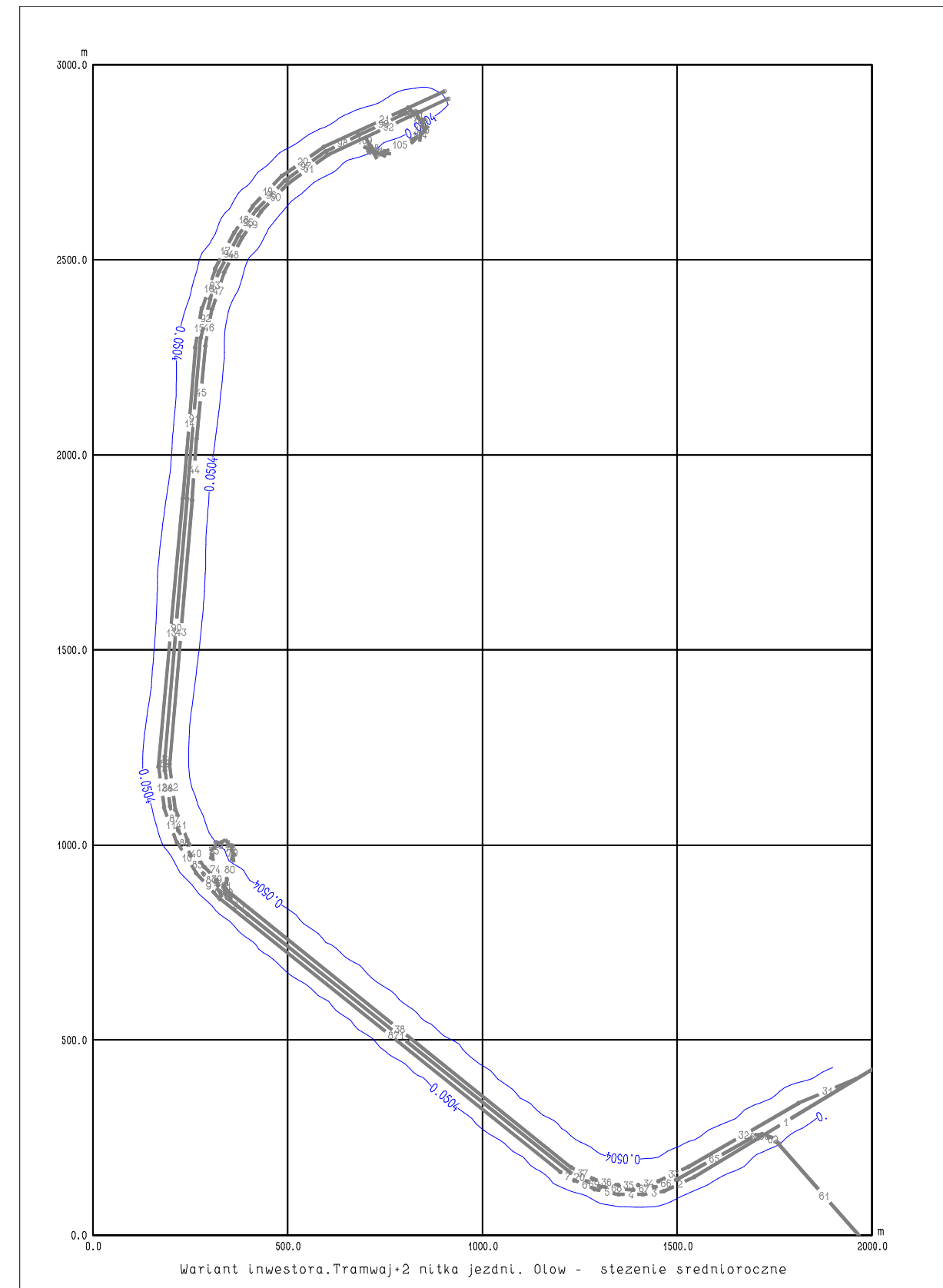
Rys. 33. Pył zawieszony PM10. Stężenie średnioroczne z tłem. Dopuszczalne średnioroczne stężenie z tłem $D_a = 40 \mu\text{g}/\text{m}^3$. Wartość tła zanieczyszczenia $R_a = 34 \mu\text{g}/\text{m}^3$. Wykreślono izolinię stężenia: $34.02 \mu\text{g}/\text{m}^3$. Wartość maksymalna stężenia w siatce obliczeniowej $S_{\text{amax}} = 34.052 \mu\text{g}/\text{m}^3$ występuje w punkcie $X = 1050 \text{ m}$, $Y = 300 \text{ m}$.



Rys. 34. Tlenek węgla CO. Stężenie średnioroczne z tłem. Dopuszczalne średnioroczne stężenie z tłem jest nieokreślone. Wartość tła zanieczyszczenia $R_a = 600 \mu\text{g}/\text{m}^3$. Wykreślono izolinię stężenia: $602 \mu\text{g}/\text{m}^3$. Wartość maksymalna stężenia w siatce obliczeniowej $S_{\text{amax}} = 604.0 \mu\text{g}/\text{m}^3$ występuje w punkcie $X = 1050 \text{ m}$, $Y = 300 \text{ m}$.



Rys. 35. Benzen. Stężenie średnioroczne z tłem. Dopuszczalne średnioroczne stężenie z tłem $D_a = 5 \mu\text{g}/\text{m}^3$. Wartość tła zanieczyszczenia $R_a = 2.5 \mu\text{g}/\text{m}^3$. Wykreślono izolinie stężenia: $2.503 \mu\text{g}/\text{m}^3$. Wartość maksymalna stężenia w siatce obliczeniowej $S_{\text{amax}} = 2.5073 \mu\text{g}/\text{m}^3$ występuje w punkcie $X = 1050 \text{ m}$, $Y = 300 \text{ m}$.



Rys. 36. Ołów. Stężenie średnioroczne z tłem. Dopuszczalne średnioroczne stężenie z tłem $D_a = 0.5 \mu\text{g}/\text{m}^3$. Wartość tła zanieczyszczenia $R_a = 0.05 \mu\text{g}/\text{m}^3$. Wykreślono izolinie stężenia: $0.0504 \mu\text{g}/\text{m}^3$. Wartość maksymalna stężenia w siatce obliczeniowej $S_{\text{amax}} = 0.05098 \mu\text{g}/\text{m}^3$ występuje w punkcie $X = 1050 \text{ m}$, $Y = 300 \text{ m}$.

